

GEMİ



MECMUASI

Gemi İnşaatı* Deniz Ticareti* Liman* Deniz Sporları

Sayı : (32)

ÜÇ AYDA BİR NEŞREDİLİR

KURULUŞ NİSAN 1955

içindekiler

	Sahife
Küçük Gemilerin Stabilitesi	Prof. Dr. K. Kafalı 3
Kosterlerin Stabilite Problemi	Crd. Prof. A. Nutku 13
Shelterdeck tipi yük gemileri için bir diyazn metodu	Y. Müh. Y. Mete 25
Ayaklı Tekneler	Y. Müh. Y. Odabaşı..... 41

GEMİ MECMUASI

3 AYLIK MESLEK DERGİSİ

T. M. M. O. B. Gemi Mühendisleri Odası Adına

Sahibi: Prof. Teoman ÖZALP

Yazı İşleri Müdürü:

Dr.Müh. Reşat BAYKAL

İdare yeri :

T. M. M. O. B. Gemi Mühendisleri Odası

Fındıklı-Meclisi Mebusan Caddesi No: 115-117

Telefon: 49 04 86

Dizgi Tertip, Baskı ve Cildi

Matbaa Teknisyenleri Basımevi

Divanyolu, Biçkiyurdu Sok. 12 Tel. : 22 50 61

Sayı: 2,— Yıllık Abone 15,— TL.

İLÂN TARİFESİ:

Baş Kapak	:	1000 TL.
Arka Kapak	:	500 TL.
İç Sahife	:	300 TL.
Yarım Sahife	:	150 TL.
1/4 Sahife	:	100 TL.

İlânların klijeleri sahipleri tarafından ödenir.

- 1 — Mecmuada neşredilmek üzere gönderilecek yazılar yazı makinesile iki kopya yazılmış olacak ve satırların arası sık olmuyacaktır. Yazılarla birlikte gönderilmiş şekillerin çini mürekkebile şeffaf kâğıda çizilmiş olması, fotoğrafların parlak resim kâğıdına net olarak çekimi ş olması lâzımdır.
- 2 — Gönderilen yazı ve resimler basılsın veya basılmasın iade olunmaz.
- 3 — Neşredilen yazılarındaki fikir ve teknik kanatlar müelliflerine ait olup Gemi Mühendisleri Odasını ve mecmuayı ilzam etmez.
- 4 — Basılan tercüme yazılarından dolayı her türlü mes'uliyet mütercime aittir.
- 5 — Mecmuadaki yazılar kaynak gösterilmek şartla başka bir yerde neşredilebilir.

Küçük Gemilerin Stabilitesi

Prof. Dr. Kemal KAFALI

Gemilerin denizlerdeki hareketlerinde emniyet ve konfor gözönünde tutulacak ehemmiyet iki unsurdur. Belirli bazı gemi tipleri istisna edilirse, gemiler ömürlerinin büyük bir kısmını dalgalı denizlerde geçirmektedir. Geminin tipi ve görevi ne olursa olsun, sefer ettiği sularda karşılaşması muhtemel hava ve deniz şartlarında gerekli denizcilik emniyetini haiz olması geminin kendisi için olduğu kadar, içinde taşıdığı insanlar ve yük için de önemdir.

Bu arada onu kullanan mürettebatın görevlerini istenildiği şekilde yapabilmesi veya taşıdıkları yolcuların rahat bir seyahat yapabilmeleri de geminin hareketlerindeki hız, ivme ve amplitüdleri ile sıkı, sıkıya ilgilidir.

Yukarıda kısaca çerçevelenmiş (emniyet ve konfor) unsurunun temel dayanağı geminin stabilite kifayeti ile belirtilebilir. Bilindiği gibi, gemilerin dalgalı denizlerdeki değişik hareketlerinin meydana getirdiği hâdiseler (hareketlerin amplitüdleri, hız ve ivmeleri, hasıl olan bünye gerilmeleri, vibrasyon, güverte ıslanmaları, vs. gibi emniyet ve konforla ilgili hususlar) bu incelemeye ihmal olunmaktadır.

Büyük gemilerin stabiliteleri üzerinde geniş bir neşriyat bulunmaktadır. Küçük gemilerde ise bu dağınık olup, herbir incelemenin ortak noktaları sarih değildir. Bunlar üzerinde durmanın faydalı olacağı düşünülmüştür. Zira, küçük gemilerin stabilite değerlerinin ne olması gerekeceği ve hangi halde bir gemiye muvazeneli veya muvazenetsiz denileceği hususu üzerinde meslektaşlarımız arasında tereddüt edilmektedir. Nitekim, gemi inşaat mühendislerinin küçük gemilerin muvazene

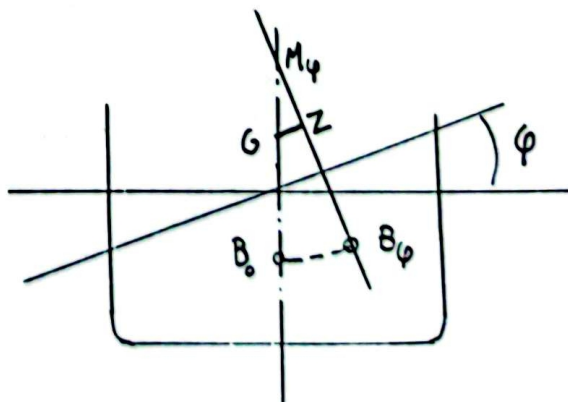
değerlendirmeleri üzerinde birbiri ile çelişen raporlar da verdikleri bir gerçekdir. Bundan dolayı, konu incelenmeye değer bir durum göstermektedir.

Bu incelemede konu edilen «Küçük Gemiler» ile 30 metreden ufak, yolcu ve yük taşıyan veya özel maksatlar için inşa edilmiş gemileri anlamaktayız. Bunları kısaca isimlendirirsek: tenezzüh ve yolcu motorbotları, sahil muhafaza gemileri, takip botları, denizaltı avcı botları, balıkçı gemileri, palamar botları ve benzeri gemilerdir.

Gemilerin stabilite kifayeti diye geminin her türlü dış ve iç tesirler altındaki meyil etme temayınlünü önleme vasfını kastetmektedir.

Elemanter gemi inşaatı kitaplarında bu tarif gemiyi yatırmaya çalışan kuvvetlerin hasıl ettiği momentin, geminin sephiyeye kuvvetinin doğurduğu doğrultucu moment tarafından önlenmesi olarak tarif olunmaktadır (Şekil 1).

Problemi etrafında tanıtmak için gemiyi yatırmaya sebep olan tesirleri tanımak faydalı olacaktır:



Sekil 1

Bunlar; gemideki ağırlıkların hareketi, serbest su alanının mevcudiyeti, rüzgâr, dalgalar, dönme hareketi sebebiyle hasil olan kuvvetler, vs. dir. (teknenin yaralanma hali konu dışı bırakılmıştır.)

Bunlardan rüzgâr tesiri ile hasil olabilecek yatırma momenti (ruzgârin tam bordadan gelmesi hali) aşağıdaki ifade ile verilebilir:

$$M_R = \frac{\rho}{2} \cdot S \cdot V_R^2 \cdot C_R \cdot l$$

dir.

Burada

S = rüzgâra maruz yan projeksiyon alanı,

ρ = havanın yoğunluğu,

V_R = rüzgâr hızı,

l = rüzgâr kuvvetlerinin tatbik noktası ile sephiye merkezi mesafesi (yan projeksiyon alan merkezi ile sephiye merkezi arası mesafe)

C_R = geminin yan projeksiyon form direnci katsayıları 1.2–1.4 arası

Küçük tekneler için 1.3 alınması tavsiye olunur. Rüzgâr hızları için aşağıdaki tablo'dan yararlanabilir.

Hava şiddetü Beaufort	6	8	10	12
Rüzgâr hızı-knot	23	35	50	58
» » m/s.	12	18	25	30

Şüphesiz, geminin değişik meyillerinde yatırıcı moment kolu küçülecektir. Bunu

$$GZ_R = \frac{M_R}{\Delta} \cdot f(\varphi)$$

ile gösterebiliriz.

$f(\varphi)$ değeri WENDEL, tarafından

$$f(\varphi) = 0.25 + 0.75 \cos^3 \varphi$$

şeklinde verilmektedir.

BAXTER ise bunu

$$f(\varphi) = 0.30 + 0.70 \cos^3 \varphi$$

şeklinde göstermektedir.

YAMAGATA ise Japonya'da kabul edilen stabilite standartları olarak bahsetmek üzere tekneleri için

$$f(\varphi) = 0.284 + 0.426 \cos^3 \varphi [1.285 (\varphi + 20.5)]$$

ve yolcu gemileri için

$$f(\varphi) = 0.2 + 0.465 \cos^3 \varphi (1.285 \varphi)$$

değerlerini almaktadır.

Dönmeden dolayı yatırıcı moment değeri iyi bilindiği gibi merkezkaç kuvvetlerin hesabı yolu ile elde olunur:

Burada

$$M_D = \frac{\Delta \cdot v^2 \cdot l}{g \cdot R}$$

v = teknenin dairesel hızı,

R = dönme yarıçapı,

g = arz ivmesi,

Δ = deplasman,

l = gemi ağırlık merkezi ile sephiye merkezi arasındaki mesafedir.

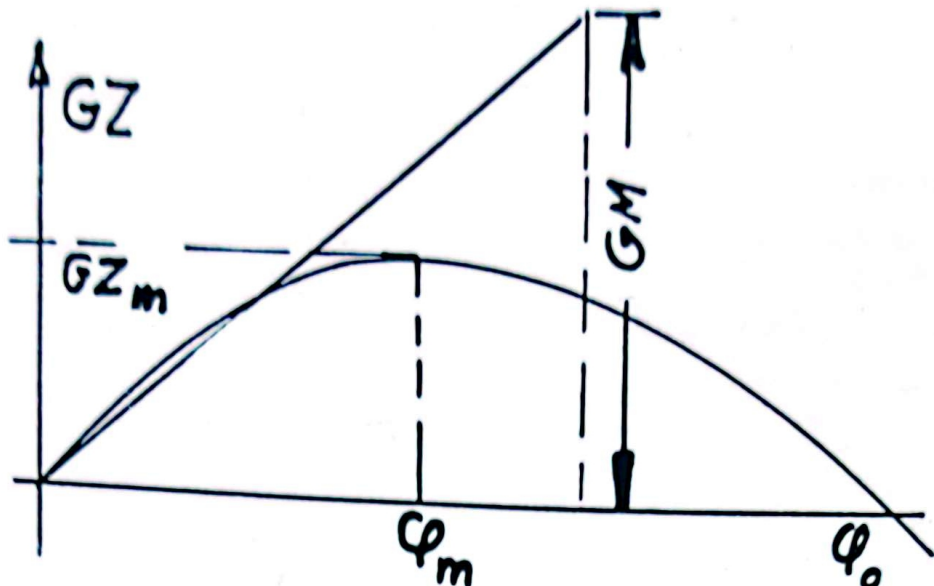
Küçük Teknelerin stabilite kriterleri:

(Şekil 1) de bir teknenin bir φ açısındaki statik durumunda tesir eden kuvvetler gösterilmiştir. Hiç bir tesir olmadan açısı değiştiği takdirde doğrultucu moment kolu olan GZ değerlerinin (Şekil 2) gibi bir eğri çizdiği malûmdur.

Bu şekilde φ_0 değeri GZ değerinin sıfır olduğu ve negatif değerlere başladığı açıdır. Statik stabilite eğrisinin maksimum noktasına tekabül eden açıya φ_m diyelim.

Değişik stabilite kriterlerinde yukarıda tarif edilmiş açı ve moment kollarının belirli değerleri teknenin muvazenesi için yeterli miktarlar olarak verilmektedir. Bu kriterler daha ziyade stabilite üzerinde toplanmış statistik bilgilerden yararlanarak meydana getirilmiştir.

Dinamik dış tesirlerle hasil olan yatırıcı momentlerin (ruzgâr, dalgaların hareketleri, vs.) bu kriterlerde gözönüne alınması genel olarak statik stabilite eğrisinin entegrasyonu olan dinamik stabilite eğrisinden (bir yatma açısından diğer bir



Şekil. 2

yatma açısına kadar yapılan iş) yararlanmak suretiyle yapılmaktadır.

(Şekil 2) yi gözönünde tutarak bir gemi için kifayetli bir muvazeneden bahs olunabilmesi için genel olarak aşağıdaki hususlar üzerinde durulmaktadır:

- a— pozitif metasantr yüksekliği ($GM \geq 0$),
- b— büyük bir φ_0 açısı (stabilite açı aralığı),
- c— φ_m değerinin büyük olması,
- d— GZ_m değerinin büyük olması.

Yukarıdaki unsurlar hangi sınırlar içinde bulunduğu zaman bir küçük gemi için kifayetli bir muvazene değeri söz konusudur?

1— Bir çok etüd ve motorbot kitaplarında küçük gemiler için GZ_m değerinin 0.20 metreden büyük olmasının kâfi olduğu ileri sürülmektedir. Meselâ Balıkçı tekneleri için Germanischer Lloyd-8 inç değerinin minimum uygunluk şartı olduğunu belirtmektedir. SKENE, 100 ft. boyundaki bir yat için $GM = 1.5$ ft. değerini kâfi bulmaktadır.

BIRT, bir küçük geminin (motorbot vs.) φ_0 , stabilite açı aralığının

$$0.90 \left(\frac{KB}{GB} \times \frac{B}{d} \times \tan \alpha \right)$$

ile verilmesi gerektiğini belirtmektedir.

Burada $\tan \alpha = 2f/B$ değeri ile verilmektedir. f değeri teknenin freeboard değeridir. B genişlik, d, drafttır.

2— Konu üzerinde çok geniş statik bilgilerden yararlanarak tesis edilmiş en kullanışlı kriter RAHOLA tarafından 1939 da tesis olunandır.

Buna göre küçük teknelerde (meselâ balıkçı teknelerinde) stabilitenin yeterli görülmesi için:

- a) teknenin statik stabilite GZ kolu 20° meyilde en az 140 mm. ve 30° deki meyilde de en az 200 mm. olmalıdır.
- b) geminin, statik stabilite kol eğrisinin maksimum olduğu açı (stabilite kritik açısı) 35° den büyük olmalıdır.

Bununla beraber bu değerin fazla diri bir gemi hali verdiği bir gerçekdir.

Sayet kritik açı 35° den az ise dinamik stabilite her tür-

lü tesirleri karşılayacak seviyede bulunmalıdır. Bu halde bu açıdaki dinamik kol 80 mm. veya daha fazla olmalıdır.

- 3— Japonya'da cari stabilite kriteri en genel olarak

$$GM \geq (M_R + M_F) \Delta \tan \varphi_f$$

olmalıdır.

Burada φ_f fribord güvertesi kenarının suya girmesindeki meyil açısındandır.

Yukarıdaki ifadede M_R , rüzgâr yatırıcı momenti ve M_F , tekne içindeki yolcu ve personelin yatarıma momentidir. Kâfi stabilite için ayrıca aranan husus GZ_m değerinin hiç olmazsa

$GZ_m > 0.275$ metre olmasıdır.

ve küçük gemiler için $\varphi_m \geq 25^\circ$ olmalıdır.

- 4— Amerika'da sahil muhafaza'nın 65 ft. den ufak yolcu taşıyan gemiler için istediği minimum şart ise yuvarlak karinalı tekneler için)

$$a) \quad GM \geq \frac{P \cdot S \cdot l}{\Delta \cdot \tan \varphi_f} \text{ dir.}$$

Burada,

$P = 0.0033$ — dir. (Atlantik için 0.005)

S = yüklü su hattından yukarıdaki geminin yan projeksiyon alanı ft^2 ,

l = yüklü su hattındaki sephiye merkezi ile alan merkezi arasındaki düşey mesafe, ft.

$\varphi_f = 14^\circ$ den fazla olmamak üzere fribord yüksekliğini yarısına kadar meyil açısı

Sayıt tekne yolcu taşıyor ise bu değer

$$b) \quad GM \geq \frac{N \cdot b}{24 \cdot \Delta \cdot \tan \varphi_f} \text{ dir.}$$

Burada,

N = yolcu sayısı,

b = gemi merkezinden fribord güverte ucuna kadar olan meyil açısı, 14° den fazla alınamaz.

5— Sovyet Rusya'da stabilite kriteri aşağıdaki unsurları ihtiya etmektedir.

a— $GZ_m \geq 0.20$ metre

b— $\varphi_m \geq 30^\circ$ olmalıdır.

c— $\varphi_0 \geq 60^\circ$ olmalıdır.

d— $GM \geq 0$ olmalıdır.

Ayrıca aşağıdaki formülle hesaplanan yatırıcı moment değeri, gemiyi devirici momentten küçük olmalıdır.

$$1 \leq K = \frac{M_{\text{devirici}}}{M_{\text{yatırıcı}}}$$

$$M_{\text{yatırıcı}} = 0.001 \times P \times S \times l$$

$$l \geq 7 \text{ m} \text{ olduğunda } P = 156 \text{ kg/m}^2$$

alınır. Burada 156 kg/m^2 , 14 beaufort şiddetine tekabül eder. Şüphesiz bu değer büyük açık deniz gemilerine uygulanmaktadır. Küçük gemilerde en fazla 8 Beaufort şiddetini kabul etmek uygun bir değerdir.

6— Almanların balıkçı tekneleri üzerindeki stabilite çalışmaları neticesi kabul edilmiş standartlar

a— $GZ_m \geq 0.20$ metre

b— $\varphi_m \geq 30^\circ$

c— $GM \geq 0$

Dinamik stabilitenin kullanılmasının büyük fayda vermediği SCHNADEL tarafından ifade edilmiştir. Genellikle küçük GM değerli büyük fribordlu gemiler stabilité ve denizecilik bakımından iyidir.

7— Japon balıkçı tekneleri için

$$a) \quad GM \geq \frac{B}{23} + 0.88 \text{ Ft.}$$

ve bu değer purse seiner tipi balıkçı teknelerinde 0.45 m. den az olmamalıdır.

— diğer tip balıkçı teknelerinde

$$GM \geq \frac{B}{25} + 0.39 \text{ Ft.}$$

olmalıdır ve GM değeri 0,40 metreden az
ahmamalıdır.

- 8— Benzeri bir kriter NICKUM tarafından ileri sürülen $GM \geq 0.06$ B değeridir.

9— A. TAKAGI, genellikle balıkçı tekneleri için tesis etmiş olduğu (Şekil 3) deki stabilite kriteri küçük gemiler için de gözönünde tutulabilir.

10— Geminin stabilite emniyeti yönünden yalpa peryodu kriteri de çokca kullanılan bir yoldur:

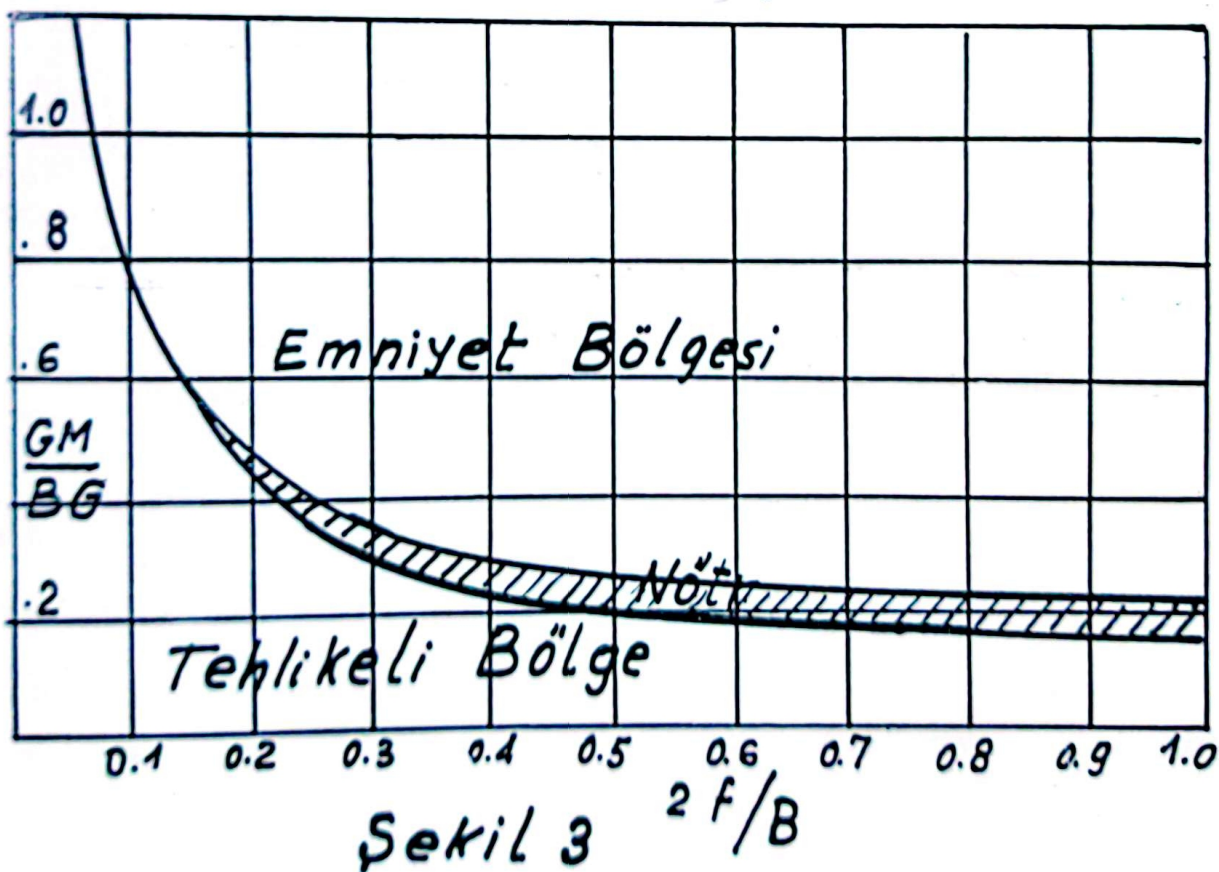
T/B değerinin 1.0—1.1 değerinden daha küçük değerler stabilite bakımından uygun değerler olarak kabul edilmekte ise de bunu çok küçük değerlerinin konfor bakımından mahzurları olacaktur. 1.1 B den büyük peryod-

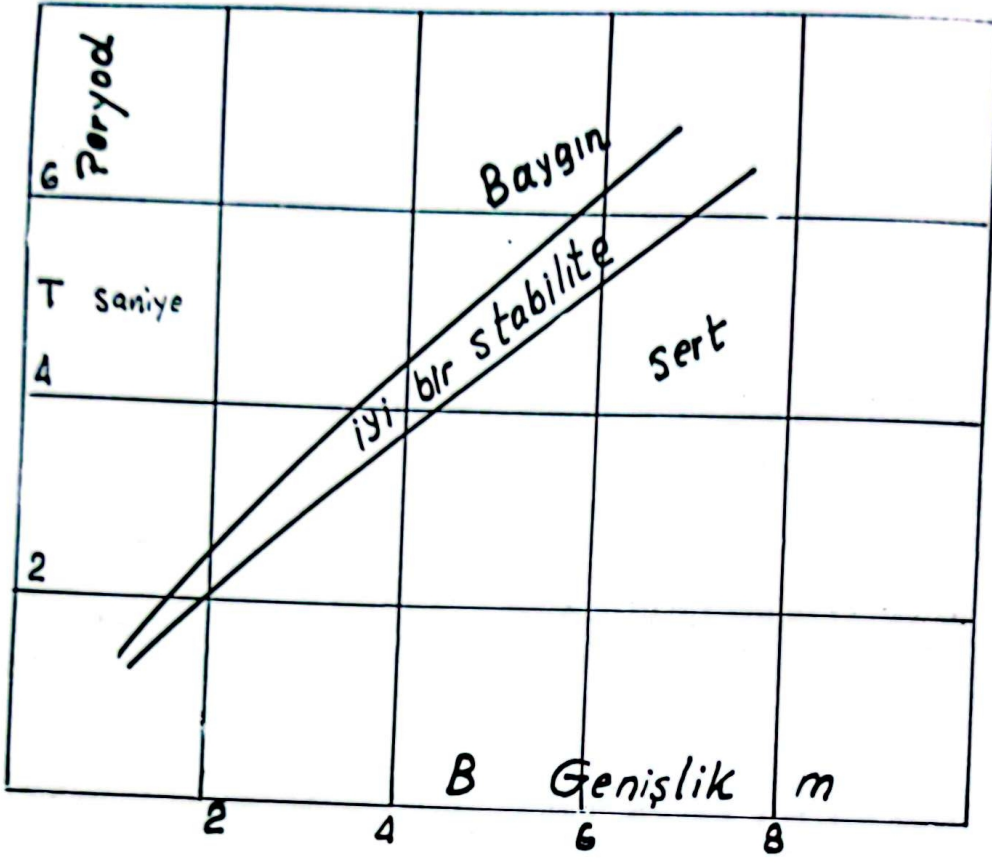
ların kılıçük gemilerde emniyetsiz bir seviyede olacağı bilinmekte- tür.

- 11— GURTNER, (Şekil 4) deki bağın-
tuların küçük gemiler ve özellikle
balıkçı gemiler için bir stabilité
kriteri olacağını öne sürmeye-
dir.

12— IMCO-nun balıkçı teknelerinin
stabilité kriteri olarak teklifi ise
aşağıdaki şekilde özetlenebilir:

 - a— Statik stabilité eğrisi altın-
da kalan alanın değeri 30°
ye kadar 0.055 metre—rad-
yandan ve 40° ye kadar ve
yaşet batma 40° den kü-
çükse bu açıya kadar değeri
0.09 metre—radyandan kü-
çük olmamalıdır.
 - b— 30° ye kadar ve bundan bü-
yük meyillerde GZ değeri
0.20 metreden büyük olma-
lidır.





Sekil 4

c— Azami yatırıcı moment kolu değeri tercihan 30° den büyük açılarda olmalıdır, fakat 25° den az olmamalıdır.

d— GM değeri 0.35 metreden az olmamalıdır.

Sonuç :

Görmektedir ki küçük gemiler için stabilite sınırları olarak tesis olunmuş kriterler değişik olmakla beraber müsterek tarafları da görülmektedir.

Bu yaptığımız stabilite sorveyinden küçük gemilerin stabilite kifayeti kriteri için aşağıdaki hususların (önem sırasına göre) bulunması gereklili bulunmaktadır.

- 1) $GM \geq 0.30$ m. olmalıdır.
- 2) $GZ_m \geq 0.20$ m. olmalıdır.
- 3) $GZ_m \cdot \varphi_0 \geq 1.00$ metre x derece olmalıdır.
- 4) $\varphi_m \geq 25^\circ$ olmalıdır.
- 5) $T \leq 1.00 B$ olmalıdır.

REFERANS

1. — G. C. Nickum — Fishing boats of the World - Vol. 1 discussions.
2. — Prof. Schnadel — Fishing boats of the World - Vol. 1 discussions.
3. — Atsushi Takagi — Notes on stability — Fishing boats of the World - Vol. 2.
4. — Prof. Yamagata — Standart of Stability adopted in Japan - R.I.N.A. 1959.
5. — N. L. Skene — Elements of Yacht design.
6. — B. Baxter — Naval Architecture.
7. — J. Baader — Cruceros Y Lanchas Veloces.
8. — K. Kafalı — Yüksek Süratlı Tekneler.
9. — D. P. Birt — Motoryacht and boat design.
10. — U. S. Coast Guard — Rules and regulations for small passenger vessels.
11. — Yokohama — Technical survey of tradionel small fishing vessels - Fishing boats of the World Vol. 3.
12. — K. Wendel — Safety from capsizing — Fishing Boats of the World Vol. 2.
13. — Morskoj Register regulations — 1963.
14. — M. Y. David — La stabilité des navires de pêche - Bull-Tech. Veritas - 1968.
15. — J. G. De Wit — Safety at sea - Nederland acts about shipping.
16. — W. Möckel — Behaviour of trawler at sea fishing boats of the world Vol. 1.
17. — Nadeinski-Jens — The stability of fishing vessels — R.I.N.A. — 1968



ŠKODA

- 260 - 2500 PS GEMİ DİZEL MOTORLARI
- DİZEL - ELEKTROJEN GRUPLARI
- YARDIMCI DİZEL MOTORLARI



THEODOR ZEISE - HAMBURG

- PERVANELERİ



C. PLATH - HAMBURG

- SEYİR ALETLERİ
- OTO - PLOT (OTOMATİK DÜMEN) TEÇHİZATI
- TELSİZ KERTERİZ CİHAZI



FRIED. KRUPP ATLAS-ELEKTRONİK - BREMEN

- RADAR CİHAZLARI
- İSKANDİL CİHAZLARI
- BALIK ARAMA CİHAZLARI

Ayrıca : IRGATLAR, POMPA, HİDROLİK VE KOMPRESÖR
GRUPLARI, DİNAMOLAR, ŞAFT, GEMİ SAÇLARI,
ZİNCİR, ÇAPA, NAYLON HALAT
İHTİYAÇLARINIZ İÇİN

MAKİNA ELEKTRİK EVİ

LİMİTED ŞİRKETİ

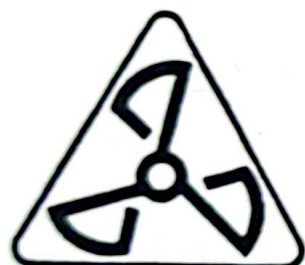
EN MOSAIT ŞARTLARLA HİZMETİNİZDEDİR.

İSTANBUL

Karaköy, Mertebani Sok. No. 6
Tel.: 44 82 42 - 44 19 75

ANKARA

Ulus, Sanayi Cad. No. 30/A
Tel.: 11 22 28 - 11 39 48



Sicil No. 67749/1580

ÇELİKTRANS

DENİZ İNŞAAT LİMİTED ŞİRKETİ

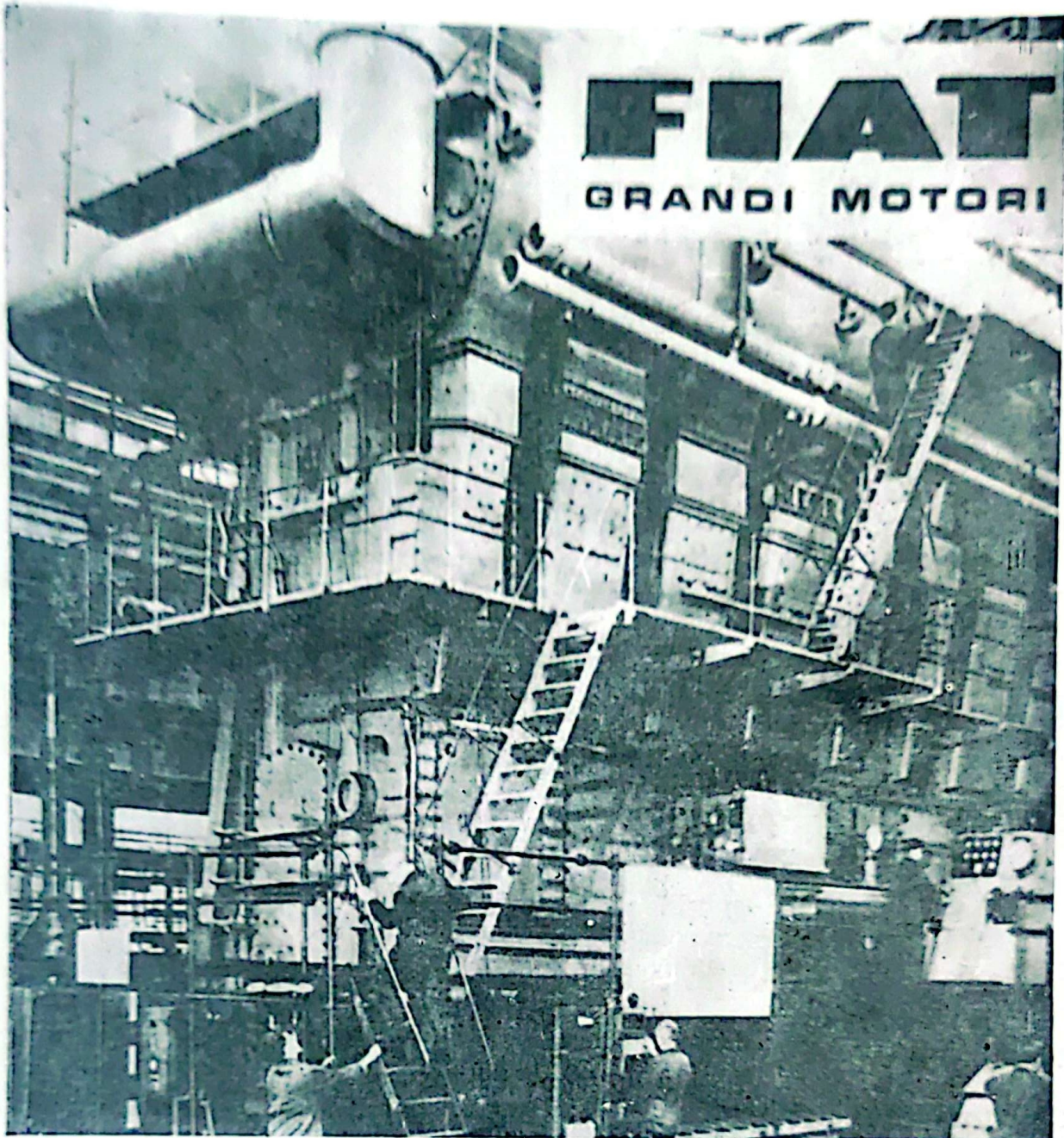
Deniz vasıtaları inşaat ve tamiratı * Makine imalât ve tami-
ratı * Demir ve saç işleri taahhüdü * Dahili ticaret * ithalât
Mümessillilik

Büro: Meclisi Mebusan Cad. İşçi Sigortaları
Han Kat 2 No. 207 - Fındıklı - İst.

TEL: 44 31 97

İş Yeri: Büyükdere Cad. No. 42 - Büyükdere

Tel.: 61 20 01 — 168



FIAT GRANDİ MOTORU

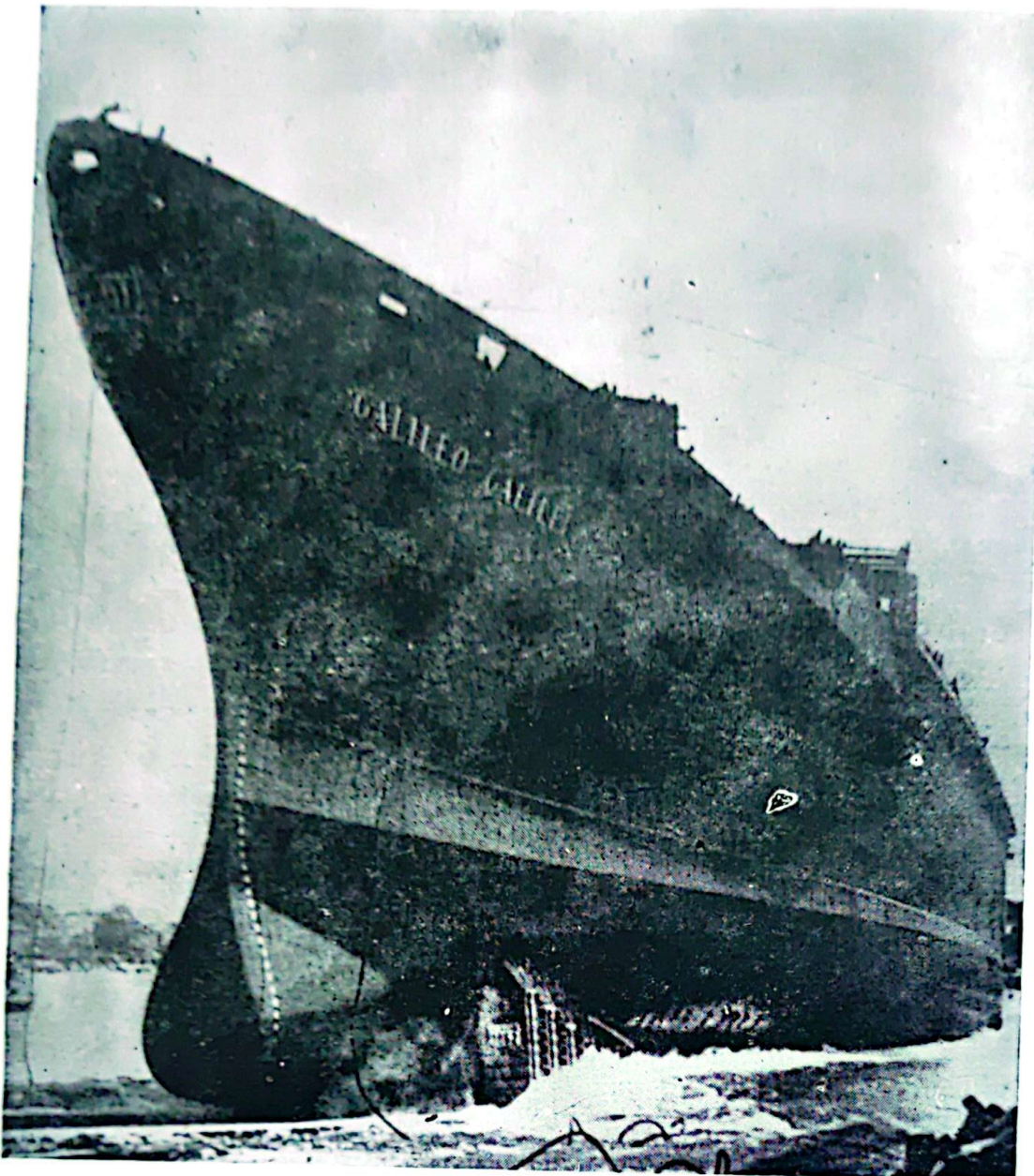
Diesel Gemi Motorları

500 BHP den 30000 BHP üstüne kadar
Elektrojen grubu motorları,

5000 BHP den 55000 BHP üstüne kadar
Elektrik santralleri ve gaz tazyik
istasyonları için gaz turbinleri,

**Her türlü bilgi, teknik yardım ve devamlı
servis için müracaat: TÜRKOYL**

Ltd. Şti. Tel.: 44 10 32



Loyd Triestino şirketinin amiral gemisi

GALİLEO GALİLEİ

Tamamen MORAVIA boyaları ile boyanmıştır.

- MORAVIA — Anticorrosive zehirli boyaları
- MORAVIA — Antifouling zehirli boyaları
- MORAVIA — Faça boyaları
- MORAVIA — Cromocarena pasa karşı boyaları
- MORAVIA — Muhtelif renklerde sentetik super kalite
EUROPA boyaları
Emrinize amadedir.

TÜRK OYL Ltd. Şti.
Karamustafa paşa cad Limanbahçe Han Kat 2
Karakaş Tel., 44 10 32

Koster'lerin Stabilite Problemi

Ord. Prof. Ata NUTKU
İ.T.Ü

Türk gemi inşaatçılığının bugünkü önemli problemlerinden biri de (küçük gemilerin stabilitesi)dir. Son senelerde, gemi kızaklarımıza inşa edilmekte olan kosterlerin, gemi odamızca onaylanmaya gelen stabilité eğrileri ve hesapları ise, gemi odamızın, henuz, ileri dünya milletlerinde bulunan (Stability Regulations) gibi bir yönetmelik hazırlayıp yayımlamamış olması bu problemin önemini artırmaktadır. Ayrıca, Milletlerarası (IMCO)-The Inter-Governmental Maritime Consultative Organization, teşkilâtında da faal rol alarak, bir an evvel, acı sonuçlarla karşılaşmadan, mesleğimizin gizli bir düşmanı gibi fırsat bekleyen bu tehlikeye karşı tedbir almamız gerekmektedir.

Esasta, bu problem yalnız Türk kosterlerine has bir problem olmayıp, bütün dünyadaki küçük tekneleri tehdit eden teknik gemicilik problemlerinden biridir. İstatistikler, 60 m. den daha küçük boydaki gemilerde stabilité yetersizliğinin büyükleré nazaran daha kritik durumda olduğunu ve Lloydların yayınladığı «Gemi kaza ve kayıp raporları»nda da, 1946 dan 1957 ye kadar batan dünya gemi kayıplarının yüzde 82 sindé stabilité noksanının rolü olduğu belirtilmektedir. Bu tarihten sonraki 10 sene içinde stabilité yetersizliğinden batan gemilerin sayısı, Birinci Dünya Savaşına kadar kaybolan gemilere nazaran yüzde itibariyle iki misline çıkmıştır. Hâlen de bu gemiler dünya ticaret filosunun yüzde 20 ilâ 30 unu teşkil etmektedir. Devrilerek batan gemilerin yeni veya eskiliği kaza histogram'larında bir fark göstermemekte fakat, kazaların % 70 inin kış mevsiminde olduğu meydana çıkmaktadır. 1951-63 seneleri arasında batmış bu-

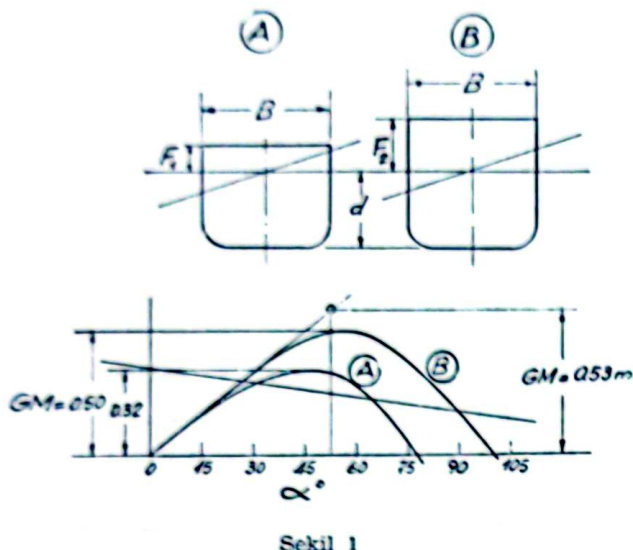
lunan 175 adet Alman kosterinden 29 unun kesin olarak devrilme ile ve 17 sinin de kesin olmamakla beraber yine bu sebepten kaybolduğu bildirlmektedir. İkinci Dünya Harbinden geçen 10 sene içinde devrilen gemilerin toplam kayıplardaki hissesi % 66 dir. Bu büyük rakamlar, gemi inşaat mühendislerinde haklı şüpheler uyandırmalıdır:

- 1). Acaba, küçük gemiler ve kosterler için şart koştuğumuş stabilité kriterleri ve şartları yetersiz midir? (GM veya GZ)
- 2). Statik stabilité eğrilerinin yapılmasında ve değerlendirilmesinde hata mı ediyoruz?
- 3). Yükün cinsi ve istifleme için yeni kayıtlar gerekmey mi?
- 4). Gemiye su girmesine karşı bir ihtiyatımız var mı?
- 5). Devir esnasındaki yana yatis, yedek halatı ve rüzgár etkileri için tedbirimiz, ihtiyat stabilitemiz var mı?
- 6). Kosterler gibi, nisbeten daha az teknik bilgili personelle idare edilen gemiler için ek tedbirler ne olmalıdır?
- 7). Fribord (yükleme sınırı) yönetmeliğinin stabilitenin realist hesaplanması ile yeniden revizyona tabi tutulması gerekmey mi?

1. KRİTER :

Yukarıdaki başlıklar altında verdiğim sorulardan birinci gelen (kriter) meselesinde, ilk akla gelecek nokta, hepimizin de artık bilip kabul ettiği husus: (bir gemi-

nin ilk küçük açılardaki stabilitesini veren GM yüksekliğinin, geminin devrilmeye karşı emniyyette olup olmadığını tayine yarayacak yeterlikte olmadığıdır. Şekil 1 de aynı boyut ve formda fakat değişik friborlu iki geminin başlangıç stabilité değerleri GM lerinin eşit olmasına rağmen aynı yatırıcı moment altında fribordu az olan A nin B den daha çabuk devrildiği açıkça görülmektedir.



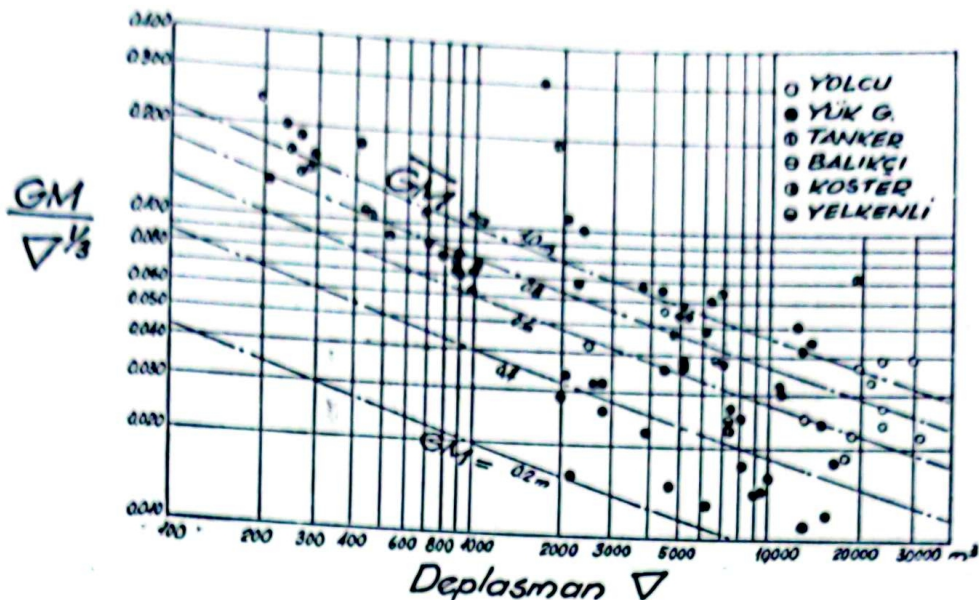
Bir geminin, denizli havalarda sert yalpa ile taşıdığı yüklerin kaymasını önlemeyebilmesi için üstüne çıkmaması gereken maksimum stabilité değerile devrilmemesi için haiz olması gereken minimum stabilité değerini veren (Stabilité Kriteri)ının bağlı bulunduğu faktörleri aşağıdaki gibi özetleyebiliriz:

- Gemini çapı,
- Geminin konstrüksiyon tipi (üst binaları),
- Geminin taşıyacağı yükün cinsi (güv. yükü de var mı?),
- Geminin çalışacağı denizlerdeki rüzgâr ve dalgalar (mevsim),
- Yükleme boşaltmadaki şartları,
- Anbar kapakları ve teknenin su geçirmezliği,
- Güverteye çullanan suyun sürütle drene edilip edilememesi.

a). Geminin çapının küçülmESİ ile, ona tesir eden dış kuvvet ve yatırıcı momentler de küçülmeyip aynı konumlarından büyük gemilere nazaran tehlke şansılılığı de artmaktadır. Prof. E. Horzion Şekil 2 de verdiği diyagramdan, GM yüksekliğinin küçük gemilerde, büyüklerde nazaran daha fazla verilmeli gerektiği $GM/\nabla^{1/3}$ değerinin artmasıyla görülmekteyiz. Küçük bir kosteri güvertesine çullanın suyun alan ve kütlesinin büyüklüğü büyük çaptakine nazaran çok farklı olduğu gibi dalgalar arasında küçük bir teknenin muvazene kaybı da büyüğünde kıyasla daha da kritiktir. Bu özellikleri incelemek için GM yeterli bir ölçuk olamayacağından büyük açılardaki stabilitéyi ele almak gerekmektedir. (Gemi dizaynı, S. 207 deki Monarch, Captain kıyaslaması bunun bir misalidir.)

GZ Eğrisi : Bir geminin stabilité kriterinin dayanağı, iki temel elemenin bağılısı olup bunlardan birincisi, o geminin çalışması esnasında onu devirmege çalışan yatırıcı momentlerin büyüklik derecesi, ikincisi de geminin dizayn ve konstrüktif özellikleriyle bunları karşılayabilme kapasitesi, yani statik veya dinamik doğrultucu moment eğrisinin karakteristiğidir.

Çeşitli denizci milletler, gemilerin stabilitesi için nizamlar koymuşlardır. Yeterli stabilité değeri için 1939 senesinde Finlandiyalı Rahola'nın kaidesi uzun sene tatmin edici bulunmuşsa da modern ihtiyaçlar bundan ileri bir kriterde ihtiyaç göstermiştir. Raholaya göre: 30° da 0.20 m. GZ ve maksimumu 35° de bulunması gerekmektedir. Rahola bunu pratikten alınan derslere dayadığı için realist bir kade olarak uzun müddet cari kalmıştır. Bununla beraber, devrilen gemiler uzun zaman yana yatmaya devam ederek batmış olduklarıdan bu kriterin belirli açılara dayanan özelliğine ve bir (dinamik iş) temeli üzerine dayanmaması, başlıca eksikliğini teşkil etmektedir. Dinamik iş prensibinin uygulanması (GZ eğrisinin açıları boyunca entegrasyonu) demektir. Yazارın (Gemi Dizaynı kitabı S. 220 de verdiği $GZ_{max} \times \alpha_0 \geq 20$ değeri, her şart altında dev-



Şekil 2

rilmenden kendini kurtarmış olan gemilerden bulunmuş olan bir sayıyı vermektedir, en kısa yoldan stabilitenin değeri (20), denizli hava şartlarının etkisini, güverteye su çullanması, sintinede serbest su, gemide yük kayması, v.s. gibi hesaplanması zor şartları da dikkat nazarına almaktadır. Kapalı deniz veya belirli ve daha müsait yükleme şartları altında bu değer daha azaltılabilirse de 18 den aşağı olmaması tavsiye edilir.

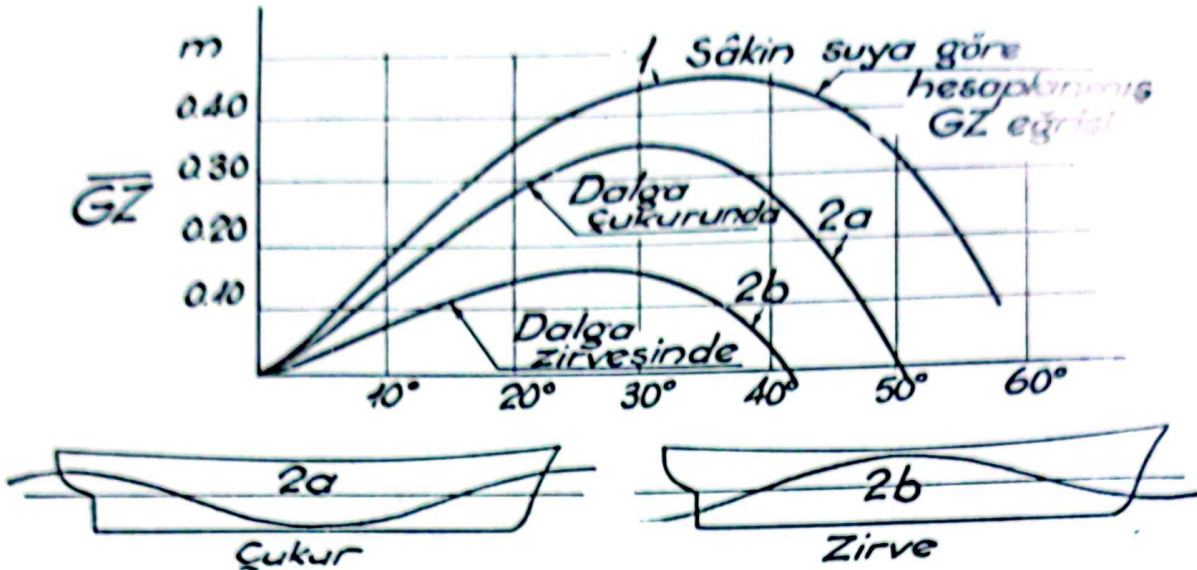
Devrilme kriteri için bugüne kadar kullanılan kriterleri aşağıdaki üç gruba ayıralım:

1. Statik işlem
2. Yarı Static İşlem
3. Dinamik işlem.

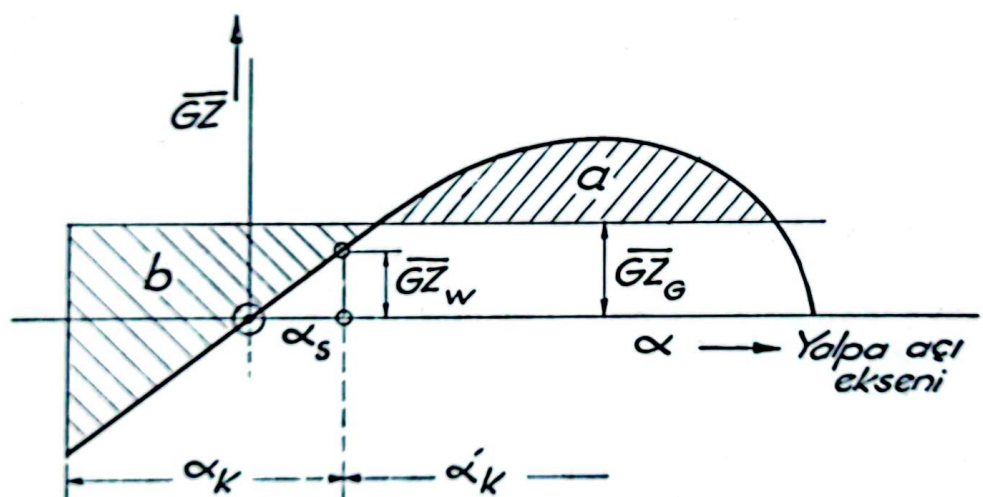
Bunlardan 1' statik metod, bugüne kadar kullandığımız, geminin sâkin sudaki GZ eğrisine göre işlemi ifade etmekte olup, yalnız yukarıda belirtildiği gibi bir fikir vermeğe yaramakta, fakat neticesde tecrübeye ve istatistikî sonuçlara dayanan bir kanaattan ileri gidememektedir. Varılan sonuç ise kollektif bir gemi topluluğunun kriteri olarak gemi tipine göre (meselâ: yolcu gemisi, kereste gemisi, kömür gemisi, tanker, harp gemisi gibi) ayırma ihtiyaç göstermektedir. Halbuki, ikinci ve üçüncü metodlarda, geminin dalga, zirve veya çukurunda bulunmasına göre değişen GZ eğrisinin durumu ele alınmaktadır. 1-

kinci yarı static işlem, Şekil 3 deki gibi geminin dalga, çukur veya zirvesinde durken açılara yatırılmasıyle elde edilen eğrileri vermektedir. Buradan da görüleceği gibi, dalga çukurunda (2a) GZ değerleri, sakin sudakinden daha az olmakta, dalga zirvesinde ise, daha da azalarak, sakin sudakinin dörtte bir değerinden de aşağı inmekte, ve özellikle, stabilitenin sıfır olduğu α_s açısı 60° den önce 50° ye ve zirvede 40° ye azalmaktadır. Bu durum karşısında static stabilité eğrisiyle kendimizi emniyette his edebilmek için dalgaların kayipları içine alan bir katsayı kullanmak zorunluğunu kendini açıkça belirtmektedir.

3. Dinamik işlem, Japon Ulaştırma Bakanlığı ve Rus Lloyd'un uygulamakta olduğu metod, yatırıcı ve dağrultucu kuvvetlerin iş dengesi prensibine dayanmaktadır. Şekil 4 de görüldüğü gibi static stabilité eğrisi üzerine geminin rüzgâra karşı duran A alanı ve onun h yüksekliğinin etkileyen bir (ruzgar yatırıcı kolu) GZ_w ve bunun sahnelerde 1,5 misli artığı kabul edilerek 1,5 GZ_w dan x eksenine paralel bir düz çizilmektedir. Bu düzün üstünde kalan tarahı (a) sahası ile rüzgâr üstüne yataşta enerjiyi gösteren (b) nin bağıntısı $a/b < 1$ çıkan α_s kritik yalpa açısı olarak bulunmaktadır. Kritik açının değeri için, çeşitli denizlere göre verilen katsayılarla beraber formül aşağıdaki gibidir.



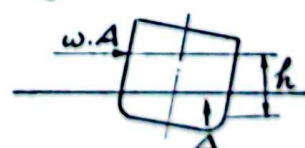
Şekil 3



$$(\text{Yarınıcı}) \quad \bar{GZ}_w = \frac{W \cdot A \cdot h}{\Delta} \quad \bar{GZ}_G = 1.5 \bar{GZ}_w \quad (\text{Sağnak})$$

$\frac{\alpha}{b} < 1$ olduğu zaman gemi emniyyette kabul ediliyor

α_K kritik yolpa açısı



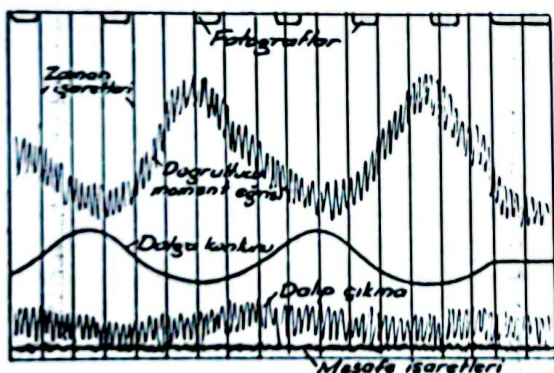
Şekil 4

$$\alpha_{\text{max}} = \sqrt{\left(13 - 60 \frac{\text{KG}}{\text{H}}\right)(p - qd)}$$

Çalışılan Denizler	Rüzgar hizi m/s	Rüzgar t/m ²	p	q
Atlantik	26	0,0514	0,151	0,0072
Uzun sahil seyirleri	19	0,0274	0,153	0,010
Kısa mesafede sahil seyiri (2 saat uzaklık)	15	0,0171	0,155	0,013

Yukarıda verilen Japon ve Rus kai-delerinin de indi olduğu ve dalga çukur ve zirvelerindeki kritik durumların da katsa-yıllarla idare edilmeğe çalışıldığı görülmektedir.

G. Kempf [2], G. Grim [3], B. Arndt und S. Roden [4], R. Paulling [5], O. Krappinger [6] tarafından geliştirilen teoriler ve Alman Model havuzunda yapılan deneyler, gemilerin deniz dalgaları arasındaki stabilité kriterlerinin daha realist bir temele dayatılması gerektiğini göstermektedir. Şekil 5 de Arndt ve Rodenin [4] deki model deneylerinden alınan bir diyagram modelin doğrultucu moment eğrisinin dalga konturile nasıl azalıp çoğal-



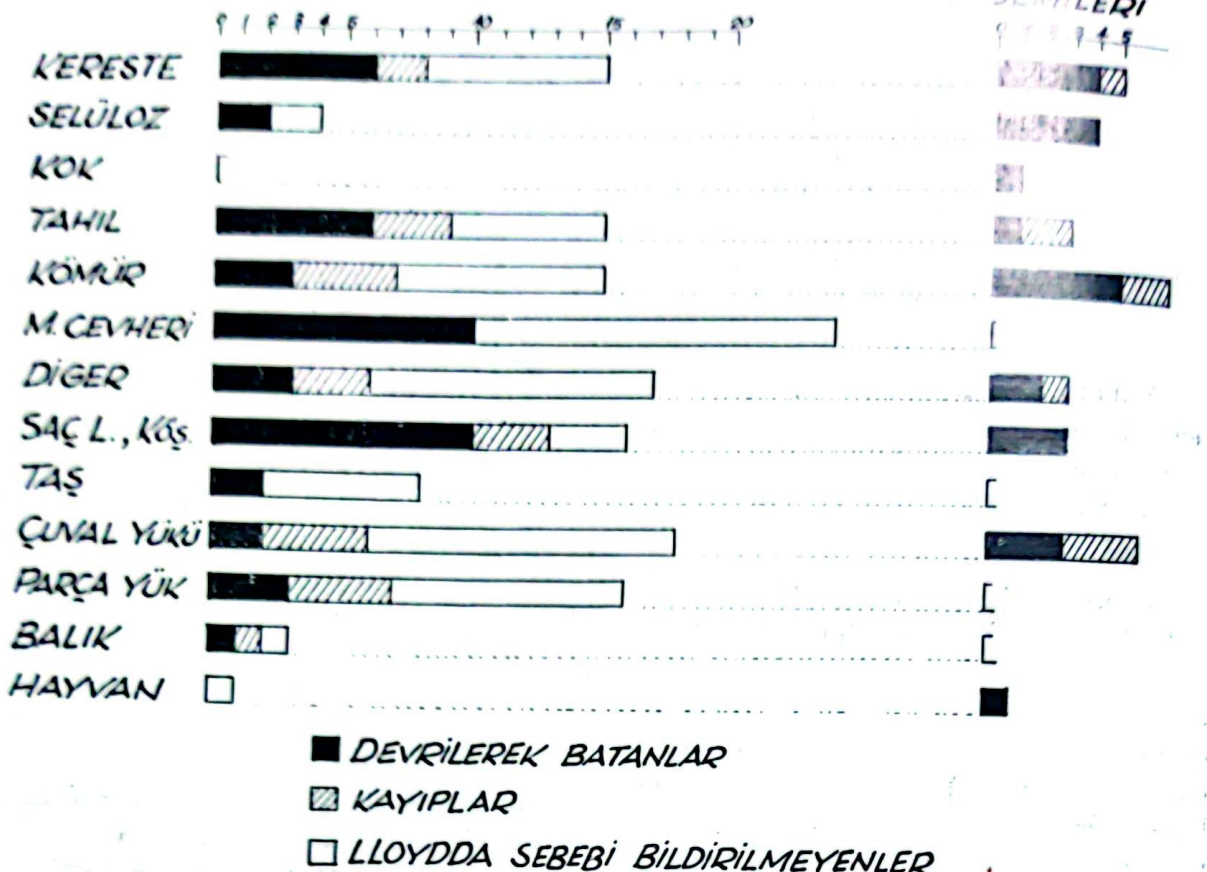
Şekil 5

dığını ve dalga zirvesinde stabilitenin azalışı açıkça görülmektedir. Diyagramın altında modelin dalıp çıkışına ait eğri de verilmiştir. Bundan alınan ders çok önemli olup, teorik hesap sonuçlarının da belirttiği gibi, kendi boyuna eşit bir dalga zirvesindeki bir geminin dinamik stabilitesi-

nin sâkin suda stabilitesinden çok az olmasıdır.

Gemilerin devrilmesi, tek bir sebep-ten ziyade bir çok sebeplerin bir araya gelmesiyle meydana geldiğini kabul etmek daha doğrudur. Yukarıda, üst binaların tipi, anbar kapaklarının su geçirme-si, çapı, boyut oranları gibi tekneye has özellikler de geminin dalgalar arasındaki stabilité kaybı özelliği gibi GZ eğrisi karakteristiğini etkeleyen elemenlardır. Halbuki, geri kalan şartlar geminin çalıştırılması ve gemicilik bakımından iyi idare edilip edilemediğini ilgilendiren hususlardır. Şekil 6 da 1957-1964 seneleri arasında batan dünya gemileriyle 1945 den 1964 e kadarki Alman gemilerinin taşıdıkları yükler göre klasifikasyonunu görmekte-yiz. Kereste taşıyan gemilerin güverte yü-künden ötürü karşı kaldıkları tehlikelere burada da şahit oluyoruz. Tahıl ve kömür gibi dökme yük taşıyan gemilerin, denizli havalarda yükün bir yana akmasıyle, ne kadar muvazenetli olurlarsa olsunlar devrilmelerinin önüne geçilemeyeceği istatistiklerle de konfirme edilmiş oluyor. Bu şartlar maden cevheri taşıyan gemiler için de aynen variddir. Dökme yükler, limanda yükledikleri zaman cinslerine göre göre belirli bir şiv açısıyla (angle of repose) dururken güverte altında, kemere ve postanın birleştiği köşe boş kaldılarından her yalpada yük, rüzgar altında köşeyi doldurup gemiye bir yatis açısı vermekte ve gemi her seferinde merkez hattı etrafında değil, böyle bir yatis açısı etrafında yalpa etmektedir (Şekil 4 deki durum). Maden cevheri taşıyan gemilerin durumunun kritikliği yükün özgür ağırlığının kömürden fazla oluşu ve az bir kayma ile yana yatisın fazlalığıdır. Çelik lavha ve köşebent taşıyan gemilerin devrilmesinde de aynı etkiler vardır. Yalpa ile yük kayması hususu, haddinden fazla stabilitesi bulunan gemilerde rastlanan bir devrilmeye sonuçlanmaktadır. Misal olarak, aşağıdakî cetvel II de 24 sayılı gemiyi ele alabilriz. Bu gemide, 1,00 m. kadar GM yüksekliği ve sâkin suda 0,40 m. gibi hayli yüksek bir GZ kolu bulunuyordu. Bunların gemiye sert yalpaya düsürüp,

BATAN DÜNYA GEMİLERİ İÇİN
 1957-1961 LLOYD İSTATİSTİĞİ



Şekil 6

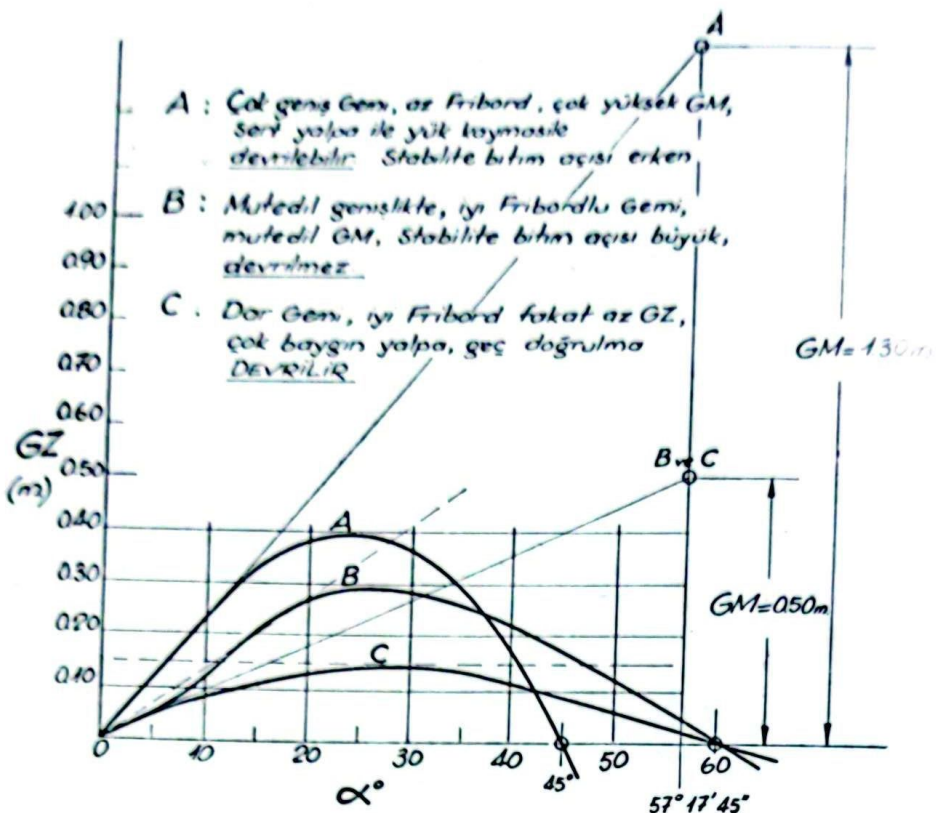
yük kaymasına zorlادığı sonucuna varabiliyoruz. Kosterlerde Fribordun alçak olması, buna karşılık fazla gemi genişliğiyle stabilitenin arttırılmasıyla birlikte GM'i daha da artıracak karakterde ağır yük alınması, bu gibi beklenmeyen kazalara sebep olabilecektir. Çuval yüküne gelince, bunların istif durumu ile birlikte, ıslanma ile ağırlaşma veya yüzmeleriyle yana kaymaları düşünülmelidir.

Bu halde, stabilité kriterinde, yalnız az GZ değeri meselesini değil aynı zamanda, zararlı fazla muvazenenin de dikkat nazarına alınması gerekmekte, ayrıca, yük cinsi ve deniz şartları önemle üzerinde dikkat etmek gereklidir. Cetvel II deki etkenlerden en çok puan alan geminin kıştan gelen dalgalarla stabilité kaybıdır. İkinci derecede yük kayması, sonra gemiye dalgaların çullanarak su girmesi ve sonra da yan-

dan gelen rüzgârin etkisi gelmektedir. Dümenle yatmadan doğan iki kesin ve iki şüpheli hâdise diğer etkenlerle birleştiği zaman kazaya sebep olmuştur. Amerikan maden cevheri gemisi «Normackite»ın fazla stabiliteden ötürü yük kaymasıyla devrilişi literatüre geçmiştir [7]. Su girmesiyile meydana gelen serbest yüzey 25 sayılı gemide, önce 230 litre/dakikada olmakla beraber, zamanla gemiyi yana yatıracak devrilmeye kadar sürüklemiştir. 22 sayılı kıştan trol balıkçı gemisi, balık yıkama makinelerinden akan suyun sızdırılması için yapılan bölmeye su dolmasıyla batmıştır.

Bordadan gelen rüzgârla gemilerin devrilmesi her ne kadar, yelkenli gemilerin tarihe karışmasıyla ortadan kalkmış sayılabilirse de yük gemileri için gerekli olan bu hâkikat, son senelerde, misal olarak 1944 aralık ayında üç Amerikan des-

Gemiler	1949 - 1954							1955 - 1959							1960 - 1964																																																																																																																																																																																																																																																																																																																																																																																																																																																																																																																																																																																																																																																																																																																																																																																																																																																																																																																																																																																																																																																																																																																																																																																																																																																																																																																										
1	2	3	4	5	6	7	8	9	10	11	12	13	14	15	16	17	18	19	20	21	22	23	24	25	26	27	28	29	30	31	32	33	34	35	36	37	38	39	40	41	42	43	44	45	46	47	48	49	50	51	52	53	54	55	56	57	58	59	60	61	62	63	64	65	66	67	68	69	70	71	72	73	74	75	76	77	78	79	80	81	82	83	84	85	86	87	88	89	90	91	92	93	94	95	96	97	98	99	100	101	102	103	104	105	106	107	108	109	110	111	112	113	114	115	116	117	118	119	120	121	122	123	124	125	126	127	128	129	130	131	132	133	134	135	136	137	138	139	140	141	142	143	144	145	146	147	148	149	150	151	152	153	154	155	156	157	158	159	160	161	162	163	164	165	166	167	168	169	170	171	172	173	174	175	176	177	178	179	180	181	182	183	184	185	186	187	188	189	190	191	192	193	194	195	196	197	198	199	200	201	202	203	204	205	206	207	208	209	210	211	212	213	214	215	216	217	218	219	220	221	222	223	224	225	226	227	228	229	230	231	232	233	234	235	236	237	238	239	240	241	242	243	244	245	246	247	248	249	250	251	252	253	254	255	256	257	258	259	260	261	262	263	264	265	266	267	268	269	270	271	272	273	274	275	276	277	278	279	280	281	282	283	284	285	286	287	288	289	290	291	292	293	294	295	296	297	298	299	300	301	302	303	304	305	306	307	308	309	310	311	312	313	314	315	316	317	318	319	320	321	322	323	324	325	326	327	328	329	330	331	332	333	334	335	336	337	338	339	340	341	342	343	344	345	346	347	348	349	350	351	352	353	354	355	356	357	358	359	360	361	362	363	364	365	366	367	368	369	370	371	372	373	374	375	376	377	378	379	380	381	382	383	384	385	386	387	388	389	390	391	392	393	394	395	396	397	398	399	400	401	402	403	404	405	406	407	408	409	410	411	412	413	414	415	416	417	418	419	420	421	422	423	424	425	426	427	428	429	430	431	432	433	434	435	436	437	438	439	440	441	442	443	444	445	446	447	448	449	450	451	452	453	454	455	456	457	458	459	460	461	462	463	464	465	466	467	468	469	470	471	472	473	474	475	476	477	478	479	480	481	482	483	484	485	486	487	488	489	490	491	492	493	494	495	496	497	498	499	500	501	502	503	504	505	506	507	508	509	510	511	512	513	514	515	516	517	518	519	520	521	522	523	524	525	526	527	528	529	530	531	532	533	534	535	536	537	538	539	540	541	542	543	544	545	546	547	548	549	550	551	552	553	554	555	556	557	558	559	560	561	562	563	564	565	566	567	568	569	570	571	572	573	574	575	576	577	578	579	580	581	582	583	584	585	586	587	588	589	590	591	592	593	594	595	596	597	598	599	600	601	602	603	604	605	606	607	608	609	610	611	612	613	614	615	616	617	618	619	620	621	622	623	624	625	626	627	628	629	630	631	632	633	634	635	636	637	638	639	640	641	642	643	644	645	646	647	648	649	650	651	652	653	654	655	656	657	658	659	660	661	662	663	664	665	666	667	668	669	670	671	672	673	674	675	676	677	678	679	680	681	682	683	684	685	686	687	688	689	690	691	692	693	694	695	696	697	698	699	700	701	702	703	704	705	706	707	708	709	710	711	712	713	714	715	716	717	718	719	720	721	722	723	724	725	726	727	728	729	730	731	732	733	734	735	736	737	738	739	740	741	742	743	744	745	746	747	748	749	750	751	752	753	754	755	756	757	758	759	760	761	762	763	764	765	766	767	768	769	770	771	772	773	774	775	776	777	778	779	780	781	782	783	784	785	786	787	788	789	790	791	792	793	794	795	796	797	798	799	800	801	802	803	804	805	806	807	808	809	8010	8011	8012	8013	8014	8015	8016	8017	8018	8019	8020	8021	8022	8023	8024	8025	8026	8027	8028	8029	8030	8031	8032	8033	8034	8035	8036	8037	8038	8039	8040	8041	8042	8043	8044	8045	8046	8047	8048	8049	8050	8051	8052	8053	8054	8055	8056	8057	8058	8059	8060	8061	8062	8063	8064	8065	8066	8067	8068	8069	8070	8071	8072	8073	8074	8075	8076	8077	8078	8079	8080	8081	8082	8083	8084	8085	8086	8087	8088	8089	8090	8091	8092	8093	8094	8095	8096	8097	8098	8099	80100	80101	80102	80103	80104	80105	80106	80107	80108	80109	80110	80111	80112	80113	80114	80115	80116	80117	80118	80119	80120	80121	80122	80123	80124	80125	80126	80127	80128	80129	80130	80131	80132	80133	80134	80135	80136	80137	80138	80139	80140	80141	80142	80143	80144	80145	80146	80147	80148	80149	80150	80151	80152	80153	80154	80155	80156	80157	80158	80159	80160	80161	80162	80163	80164	80165	80166	80167	80168	80169	80170	80171	80172	80173	80174	80175	80176	80177	80178	80179	80180	80181	80182	80183	80184	80185	80186	80187	80188	80189	80190	80191	80192	80193	80194	80195	80196	80197	80198	80199	80200	80201	80202	80203	80204	80205	80206	80207	80208	80209	80210	80211	80212	80213	80214	80215	80216	80217	80218	80219	80220	80221	80222	80223	80224	80225	80226	80227	80228	80229	80230	80231	80232	80233	80234	80235	80236	80237	80238	80239	80240	80241	80242	80243	80244	80245	80246	80247	80248	80249	80250	80251	80252	80253	80254	80255	80256	80257	80258	80259	80260	80261	80262	80263	80264	80265	80266	80267	80268	80269	80270	80271	80272	80273	80274	80275	80276	80277	80278	80279	80280	80281	80282	80283	80284	80285	80286	80287	80288	80289	80290	80291	80292	80293	80294	80295	80296	80297	80298	80299	80300	80301	80302	80303	80304	80305	80306	80307	80308	80309	80310	80311	80312	80313	80314	80315	80316	80317	80318	80319	80320	80321	80322	80323	80324	80325	80326	80327	80328	80329	80330	80331	80332	80333	80334	80335	80336	80337	80338	80339	80340	80341	80342	80343	80344	80345	80346	80347	80348	80349	80350	80351	80352	80353	80354	80355	80356	80357	80358	80359	80360	80361	80362	80363	80364	80365	80366	80367	80368	80369	80370	80371	80372	80373	80374	80375	80376	80377	80378	80379	80380	80381	80382	80383	80384	80385	80386	80387	80388	80389	80390	80391	80392	80393	80394	80395	80396	80397	80398	80399	80400	80401	80402	80403	80404	80405	80406	80407	80408	80409	80410	80411	80412	80413	80414	80415	80416	80417	80418	80419	80420	80421	80422	80423	80424	80425	80426	80427	80428	80429	80430	80431	80432	80433	80434	80435	80436	80437	80438	80439	80440	80441	80442	80443	80444	80445	80446	80447	80448	80449	80450	80451	80452	80453	80454	80455	80456	80457	80458	80459	80460	80461	80462	80463	80464	80465	80466	80467	80468	80469	80470	80471	80472	80473	80474	80475	80476	80477	80478	80479	80480	80481	80482	80483	80484	80485	80486	80487	80488	80489	80



Sekil 7

eyyedeye ihtiyaç olduğunu ispatlamaktadır. Aynı şekil üzerinde, bir C gemisinin stabilite kolunun bittiği açı, B deki gibi 60° ye uzanabilmekle beraber $GZ_{max} = 0,15 \text{ m}$ olduğundan gemi devrilecektir, çünkü $GZ \times \text{açı çarpımı } 9$ sayısını aşamamaktadır. B gemisinin üstün özelliği, GZ eğrisinin orijinden takiben 10° ye kadar teget çıkışına karşılık, eğrinin bir kamburluk yaparak tegetin üstüne çıkmasıdır. Bu suretle küçük açılarda A gibi ani doğrulma reaksiyonu göstermeden açı arttıkça diretmesidir. Bunun, çok fazla genişliği olmayan fakat yeter Fribordla, sudan yurdaki bina ve gövdenin (flare) i olan bir tekne sahanabileceği anlaşılmıştır. A eğrisi, geniş az fribordlu bir gemiyi göstermektedir,

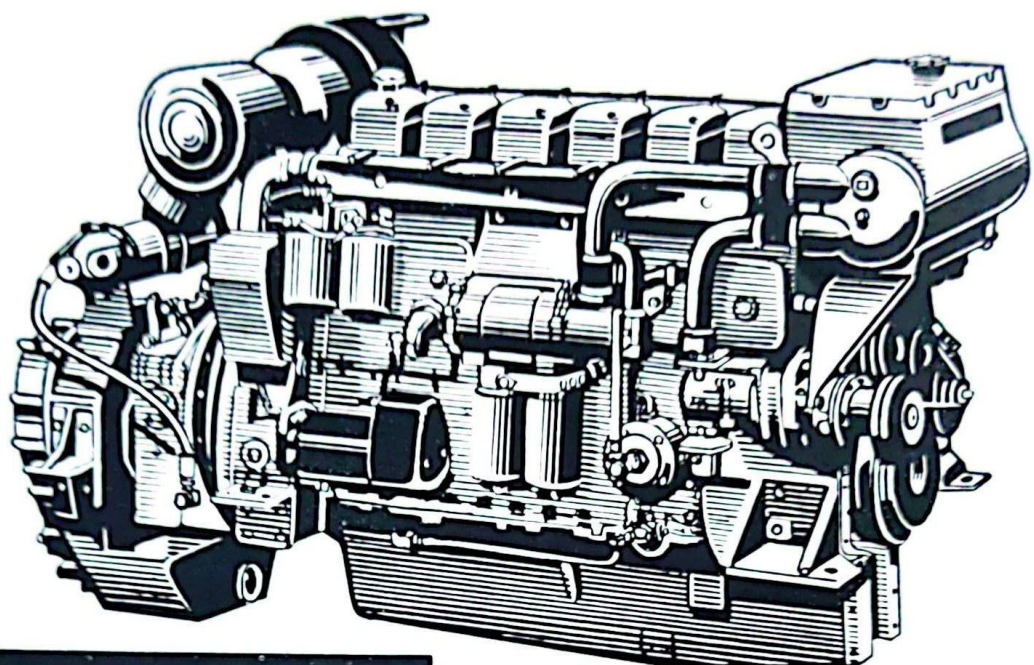
C ise iyi friborduna rağmen yeter genişliği bulunmayan bir gemiyi rezante etmektedir.

Referanslar:

1. Nutku, Ata: Gemi Dizaynı kitabı, 1955/58.
2. Kempf, Günther: WRH. 1938, S. 200.
3. Grim, O.: Schiffstechnik H. 1, 1952.
4. Arndt, B. und Roden S.: Schiffstechnik Bd. 5, 1958, S. 192.
5. Paulling, J. R.: University of California, Institute of Engineering Research, Berkeley, 1958.
6. Krappinger, O.: Schiffstechnik Bd. 9, 1962, H. 48, S. 145.
7. Boie, C.: Schiff und Hafen H 1/1966, S. 7.

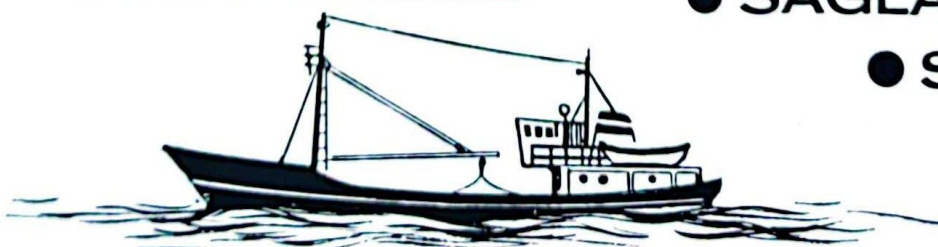
VOLVO PENTA

DENİZ MOTORLARI



15.5 HP den 240 HP ye kadar
Dizel ve Benzinli motorları ile
VOLVO - PENTA seçeceğiniz
yegâne motordur.

- EKONOMİ
- SAĞLAMLIK
- SÜR'AT

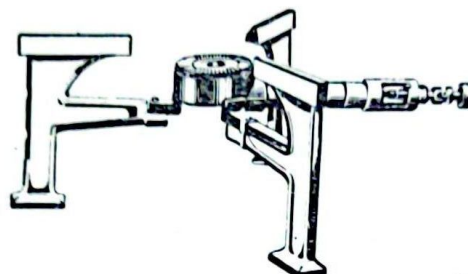


TÜRKİYE UMUM MÜMESSİLİ
MEHMET KAVALA

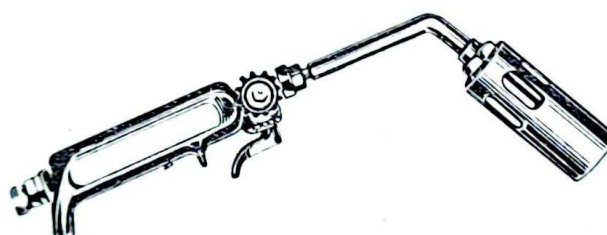
Karaköy Nesli Han Tel: 4475 05 Telgraf: LAMET - İSTANBUL



KUZINE



S-4 OCAK



ŞALUMO

Aygaz, kuzineleri, fırınları, ocakları, çeşitli brülörleri, kesme ve tav şalumoları, radyanları ve en ekonomik YAKITI ile ticari ve sınai tesislerinizde hizmetinizdedir.



Cumhuriyet Cad 361/4
Harbiye

AYGAZ



"

"ESCORT" RADAR

İngiliz sanayiinin en mütekâmil radarı
olan AEI firmasının "651 ESCORT"
modeli Türkiyede de büyük rağbet
görmektedir.

- Transistorlu.
- Gayet net ve berrak resim.
- Kısa asgarî menzil.
- Yüksek takat.

Denizcilik Limited Şirketinin "ATA"
"ORUÇ" ve "SEYDİ REİS" tankerleri
AEI "651 ESCORT" radarı ile mücehhezdır.

AEI MARINE RADAR

132-135 LONG ACRE, LONDON W.C.1

TÜRKİYEDE DİSTRİBÜTORÜ:

TEKNİKA
TİCARET ANONİM ŞİRKETİ

HEZAREN CAD. 61 - 63
KARAKÖY, İSTANBUL



DÜNYA DENİZLERİNDE
9000 den fazla Yük Gemisi

MacGREGOR

Çelik Anbar Kapakları ve Yük
Alıp Verme Tertibatının Yardım ile
Diğerlerinden Daha Verimli, Daha
Kolay, Daha Çabuk Daha
Emniyetli Çalışmaktadır.



«Tek - çekiliş» - Havaya açık
güvertelerde



MacGregor / Ermans Anbar
kapalı ara güverteler için.

Uzun senelerin tecrübe, dikkatli araştırma ve deneme,
orijinal dizayn, endüstrinin problemlerine yakından ilgi,
realist fiyatlandırma, itimatlı servis, derhal teslim.

Bunlar aşağıdaki isimle sağlanmıştır:

THE MacGREGOR INTERNATIONAL ORGANISATION

THE RECOGNISED SPECIALISTS IN AUTOMATED STEEL HATCH
COVERS & CARGO HANDLING EQUIPMENT

Türkiye Acentesi

YEDİ DENİZ Kabataş, Derya Han No. 205 İstanbul

Tel. : 49 17 85

*MacGregor Anbar Kapakları Olan Gemiler Daha Çok
Sefer ve Gelir Yapar.*

(Shelterdeck) Tipi Yük Gemileri İçin Bir Dizayn Metodu

Yazar : Yavuz METE

Pratikte, gemi maliyetine esas teşkil eden ana karakteristiklerin ve çiplak teknne, makina, teçhizat, v.s. gibi ağırlık gruplarının, kat'ı hesaplara girmeden önce kâfi takribiyetle tespiti, bilhassa tersaneleerin dizayn ve keşif bürolarınca üzerinde titizlikle durulan bir husustur. Bu konuda, teorik ve pratik çalışmalar sonunda, çeşitli dizayn metodları inkişaf ettirilmiştir. Burada açıklanacak metod, Danimarka'nın Aalborg Værft tersanesinde, yazarın da dahil bulunduğu bir grup tarafından geliştirilmiş olup, hâlen aynı tersanede tekliflere esas teşkil edecek avan proje çalışmalarında faydalı olmaktadır.

Metod, Tablo : I, II ve III de verilmiş olan bir hesap tarzı örneği üzerinde, madde madde izah edilecektir. Burada gelecek sembol ve kısaltmalar yazımızın sonunda açıklanmıştır.

Dizayn için verilenler :

1. Geminin boyutsuz genel plânı (Şekil: 1)
2. Deadweight = 11500 Ton (Maksimum yük ile),
Servis hızı, $V_s = 17 \text{ Kn.}$,
Soğuk ambar hacmi = 2800 M³ (Net)
Gemi tipi = Kapalı/Açık Şelter Güverte

Hesaba giriş ve ana ölçüler :

$$\text{Geminin deplasmanı} = \Delta = LS + DW \quad (1)$$

$$\text{Burada ; } LS = W_C + W_M + W_T + W_I \quad (2)$$

W_C = Çelik ağırlığı,
 W_M = Makina ağırlığı,
 W_T = Teçhizat ağırlığı,
 W_I = İlâve ağırlıklar

Madde 1. Kaimeler arası boy:

$$L = 8 \left[\frac{V_s}{2 + V_s} \right]^2 \sqrt{DW^{1/3}} \quad (3)$$

ifadesinden; $L = 145 \text{ M.}$ bulunur. Bu boy değeri ile birlikte, bu değerden $\pm 10 \text{ M.}$ farklı boyalar için de hesabı yürütelim. (Sütun : a, b ve c)

Madde 2. Kalıp genişliği:

$$B = 11 \times \frac{L}{100} + 4,8 \quad (4)$$

ifadesinden elde edilir. Bu ifade, $L = 50 - 300 \text{ M.}$ için muiteberdir.

Madde 3. Açık Şelter Güverte için draft:

$$B/d_A = 2.72 - 0.22 \times \frac{L}{100} \quad (5)$$

ifadesinden $L = 145 \text{ M.}$ değeri için elde edilen $B/d_A = 2.40$ ortalama oranı sabit kabul edilerek Açık Şelter Güverte için d_A değerleri bulunabilir.

Madde 4-6. Kapalı Şelter Güverte için derinlik ve draft:

$$\begin{aligned} D_{SG} &= 1.5 d_A + h - 2.893 \\ d_K &= 0.667 D_{SG} + 1.219 \end{aligned} \quad \left. \begin{array}{l} \\ \end{array} \right\} \quad (6)$$

İfadelerinden elde edilir.

Burada; $h = D_{SG} - D_{AG} = 2.5 \text{ M}$ alınıbilir.

Form katsayıları ve deplasman:

Madde 7-8. Tecrübe hızı:

$$V_T = V_s \times \sqrt[4]{1.25} = 1.057 \times V_s \quad (7)$$

ifadesinden bulunur. Buradan V_T / \sqrt{L} oranı teşkil edilir.

Madde 9 – 10. Kapalı Şelter Güverte için:

Prizmatik katsayı;

$$C_{P,K} = 1.2 - 0.63 \times V_T / \sqrt{L} \quad (8)$$

Orta kesit katsayısı;

$$C_{M,K} = 1.024 - 0.06 \times V_T / \sqrt{L} \quad (9)$$

Blok katsayısı;

$$C_{B,K} = C_{P,K} \times C_{M,K} \quad (10)$$

Sephiye merkezinin mastoriden kısa mesafesi;

$$LCB = 17.5 \times C_{P,K} - 12.5 [\%] \quad (11)$$

Deplasman;

$$\Delta_K = 1.033 \times C_{B,K} \times L \times B \times d_K \quad (12)$$

İfadelerinden bulunur. Deplasman hesabında dış kaplamanın tesiri % 0.8 mertebesinde kabul edilmektedir.

Madde 14 – 15. Açık Şelter Güverte için blok katsayısı ve deplasman;

ve $C_{B,A} = C_{B,K} - 0.23 \log d_K / d_A$ $\Delta_A = 1.033 \times C_{B,A} \times L \times B \times d_A$ } (13)

İfadelerinden bulunabilir.

Net çelik ağırlığı:

Madde 16 – 21. Çelik ağırlığı, takriben deplasmanın % 20 si veya light – ship ağırlığının % 60 idir. İnşaat fiyatının tespitinde daima en mühim faktör çelik ağırlığı olduğu için, hesabında dikkatli davranılmalıdır.

Brüt çelik ağırlığı, net çelik ağırlığına % 5 – 10 fiye ilâve etmek suretiyle bulunabilir.

Net çelik ağırlığı, tekneci kismı ve üst binaların ana konstrüksiyonunu meyda-na getiren Çelik (veya Alüminyum) elemanların toplam ağırlığıdır. Direk, bumba, ambar kapağı, dümen, küpeste, vardavela, v.s. gibi çelik elemanlar

ise genellikle teknik ağırlığı içinde mühürlen edilirler.

(Şekil: 2) deplasman güverteye kadar (ana güverte dahil) çelik ağırlığını tahmin etmek münakihidür. Bu ağırlığa, «Det Norske Veritas» kılavuzlarına uygun sayıda su geçmez perde, iki adet alt güverte (ana güverte ve ikiz güverte), double bottom ve ekstra yan tanklar veya derin tanklar dahildir.

Madde 22 – 34. (Şekil: 3) yardımıyla üst bina ve ekstra alt güvertelerin çelik ağırlığı bulunabilir. Burada, güverteler arası yükseklikler 2.5 M. kabul edilmiş olup, üst bina boyları, kaimeler arası boyun yüzdesi olarak tahmin edilebilir.

Madde 35 – 37. Eğer, normalden fazla sayıda perde varsa, ekstra perde ağırlığı, (Şekil: 4) yardımı ile bulunabilir.

Madde 38 – 40. (Şekil: 2), geminin üst güvertesi ana güverte olarak düşünüldüğü takdirde, ana güverteye kadar çelik ağırlığını vermektedir. Gemi Kapalı Şelter Güverte tipi olduğunda ana güverte, bir alt güverte olacağından, bu iki güverte arasındaki konstrüksiyon daha takviyeli olur. Bu ekstra ağırlık (Şekil: 5) yardımıyla bulunabilir.

Madde 41 Toplam çelik ağırlığını göstermektedir.

Tehizat ağırlığı:

Madde 42 – 46. Tehizat ağırlığı, takriben toplam deplasmanın % 5 i

veya light-ship ağırlığının % 15 idir. Bu ağırlık grubuna; makina dairesi dışındaki dumen donanımı, dumen, yedek pervane, çelik ambar kapakları, direk, bumba ve donanımı, güverte makinaları ve diğer güverte teçhizatı dahildir. Güverte kreynleri (deck crane), soğuk ambar izolasyonu ve soğutma için lüzumlu makina ve tesisat ise bu ağırlık grubuna dahil edilmez.

Teçhizat ağırlığı (Şekil: 6) dan bulunabilir.

Ana makina gücü:

Madde 47—59. Makina ve teferruatının ağırlığı, ana makina gücü ile bağıntılıdır. (Şekil: 7); kaimeler arası boy'a bağlı olarak C_s Spesifik direnç katsayısını vermektedir.

Buna göre tecrübe hızı için lüzumlu şaft beygir gücü:

$$SHP_T = \frac{C_s \times \Delta K^{2/3} \times V_T^3}{426.5} \quad (14)$$

İfadesi yardımcı ile bulunabilir.

(Şekil: 8) den elde edilebilen η_T (toplam sevk ve rimi) katsayısını da kullanarak, lüzumlu ana makina gücü:

$$BHP = K \times \frac{SHP_T}{\eta_T} \quad (15)$$

İfadesi yardımcı ile bulunabilir. K katsayı (Şekil: 8) de izah edilmiştir. Buradan elde edilecek BHP değeri, $B/d_K = 2.40$ oranı için doğrudur.

$B/d_K = 2.40$ dan farklı ise, her ± 0.10 fark için BHP değerinde $\pm 0.5\%$ tashih yapmak icap eder. Ayrıca, maksimum Cont. beygir gücünü elde etmek için de, bu tashih neticesinde elde edilecek BHP değerini % 10 artırmak lâzımdır. Böylece bulunacak nihai BHP değeri, makina ağırlığının tespitinde esas olacaktır.

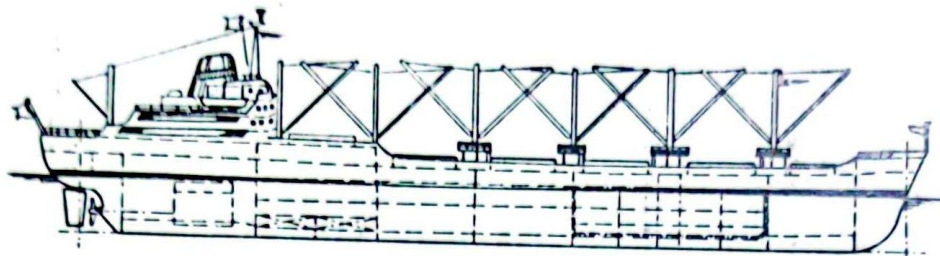
Makina ve teferruatı ağırlığı:

Madde 60—63. Makina ve teferruatının ağırlığı, takriben, deplasmanın % 5 i veya light ship ağırlığının % 15 i kadardır. (Şekil: 9) yardımıyla, makina ve teferruatının ağırlığı tahmini olarak bulunabilir. Bu ağırlık grubuna, ana makina, şaft, pervane, yardımcı makinalar, tulumbalar, kontrol tabloları, makina dairesi içindeki dumen donanımı, baca, v.s. gibi ağırlıklar dahildir.

Soğutma makina ve tesisatı, izolasyon:

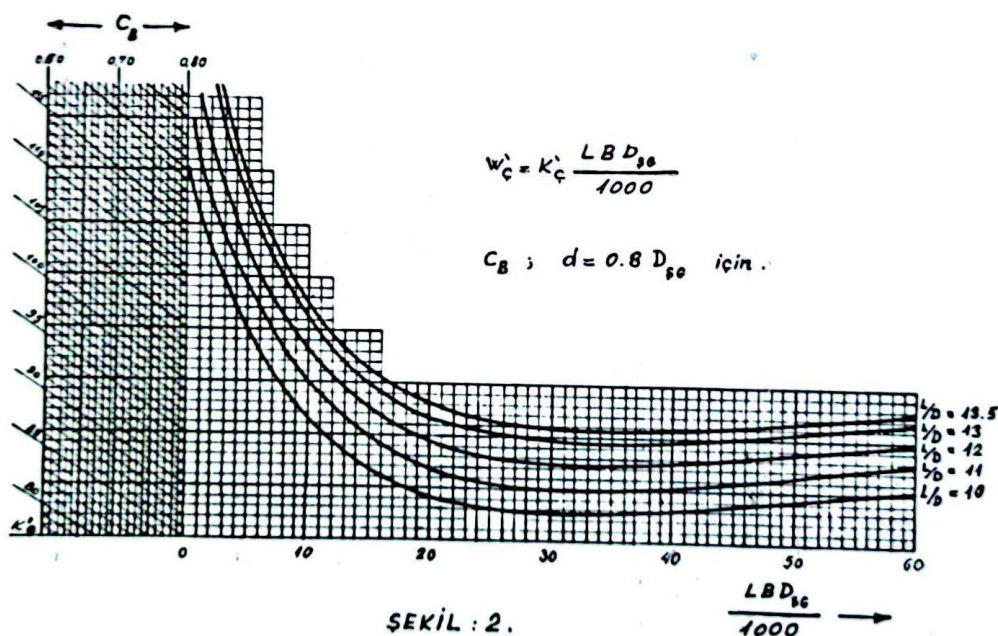
Madde 64—69. Soğutma makina ve tesisatı ile izolasyon ağırlığı, soğutulacak ambar hacmine göre değişeceğinden, diğer ağırlık gruplarından müstakil olarak hesaplanmalıdır. Bu grubun ağırlığı (Şekil: 10) vasıtıyla bulunabilir. Burada, izolasyon materyeli olarak, cam yünü ve mantar kombinezonu düşünülmüştür.

Bugünkü teknikte çok kullanılan «polyurethane»ın ağırlığı ise, klâsik izolasyon maddelerine nazaran % 30 daha azdır. Buna göre, izolasyon maddesi

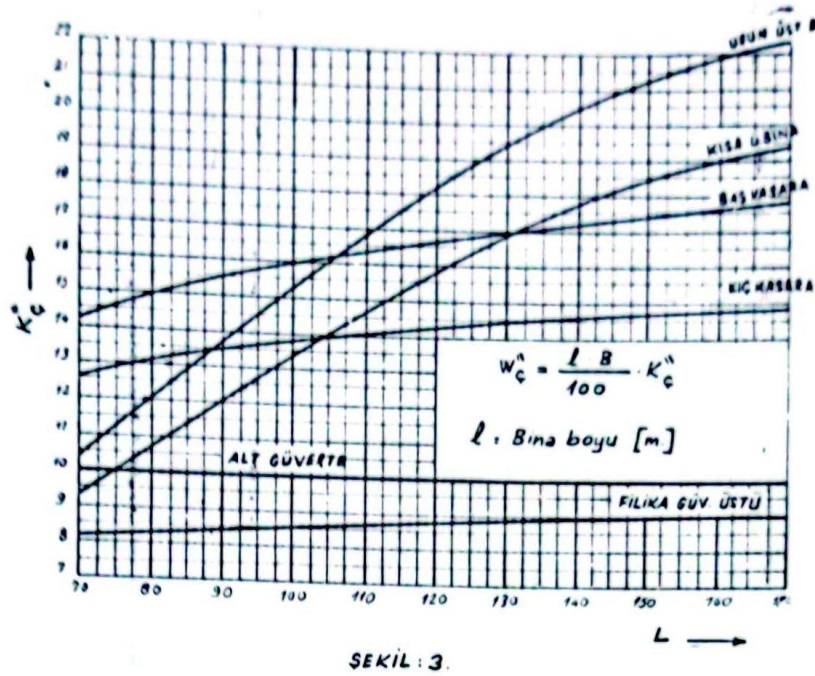


SEKİL : 1.

GENEL PLAN , PROFİL

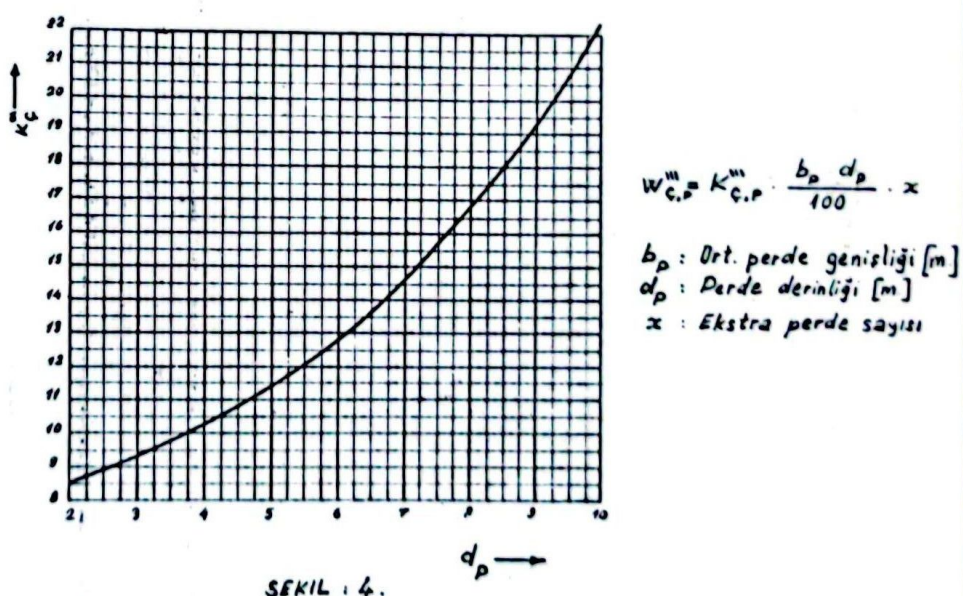


SELTER GÜVERTEYE KADAR NET ÇELİK AĞIRLIĞI



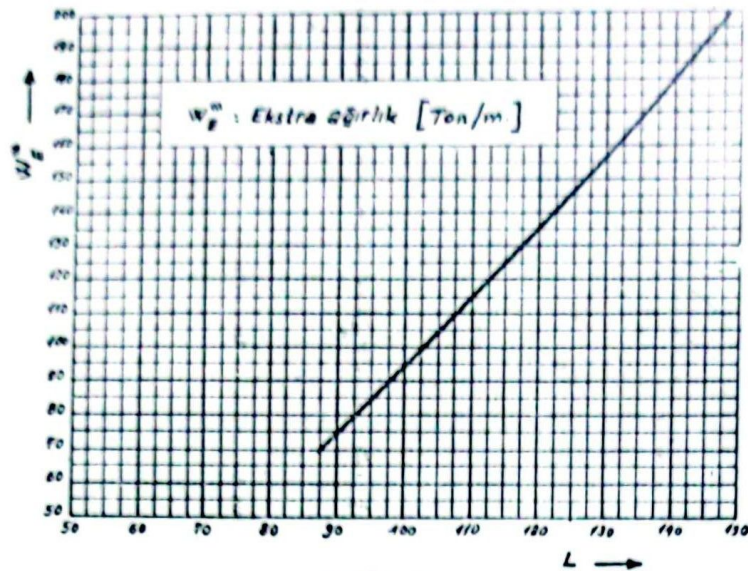
SEKİL : 3.

ÜST BİNA VE İLÂVE ALT GÜVERTELER NET ÇELİK AĞIRLIĞI

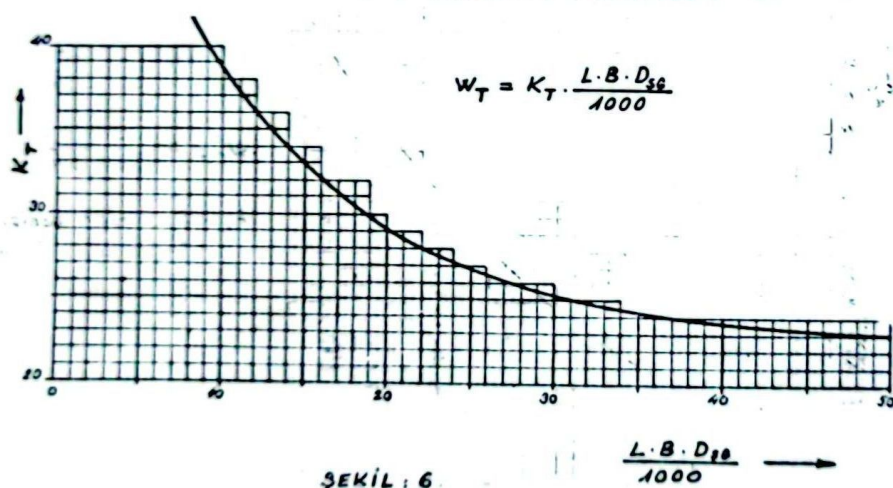


SEKİL : 4.

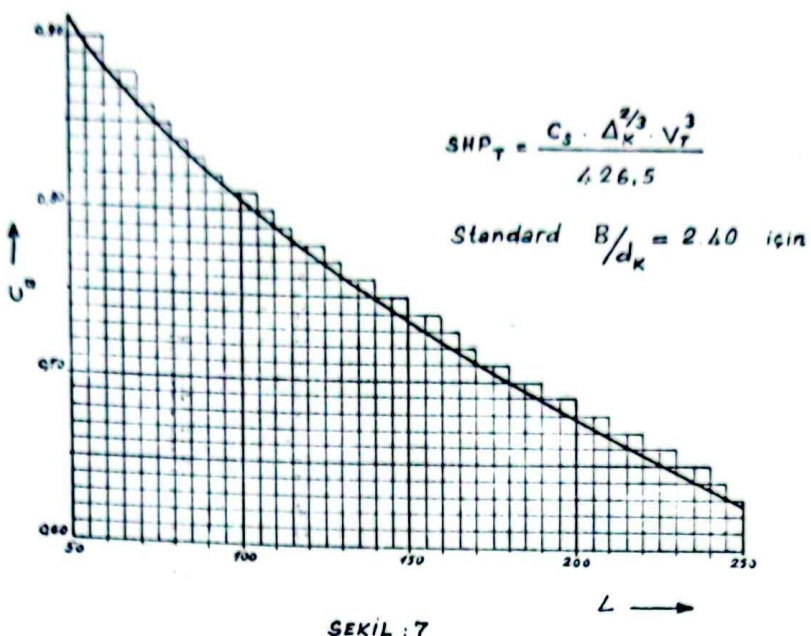
EKSTRA SU GEÇMEZ PERDE NET ÇELİK AĞIRLIĞI



KAPALI SELTER GÜVERTE İÇİN EKSTRA ÇELİK AĞIRLIĞI



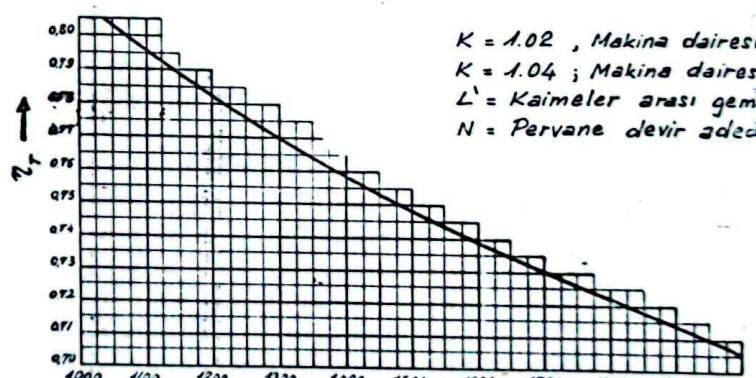
TECHİZAT AĞIRLIĞI



SEKİL : 7

SPESİFİK DİRENÇ KATSAYISI VE ŞAFT BEYGİR GÜCÜ

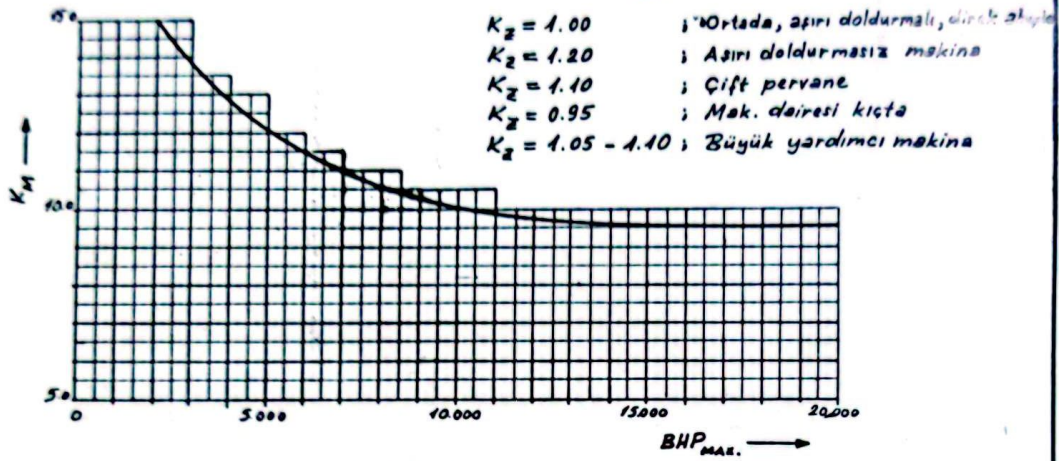
$$BHP = K \cdot \frac{SHP_T}{\eta_T}$$



SEKİL : 8.

TOPLAM ANA MAKİNA GÜCÜ

$$W_M = K_M \cdot \frac{BHP_{MAX}}{100} \cdot K_Z$$



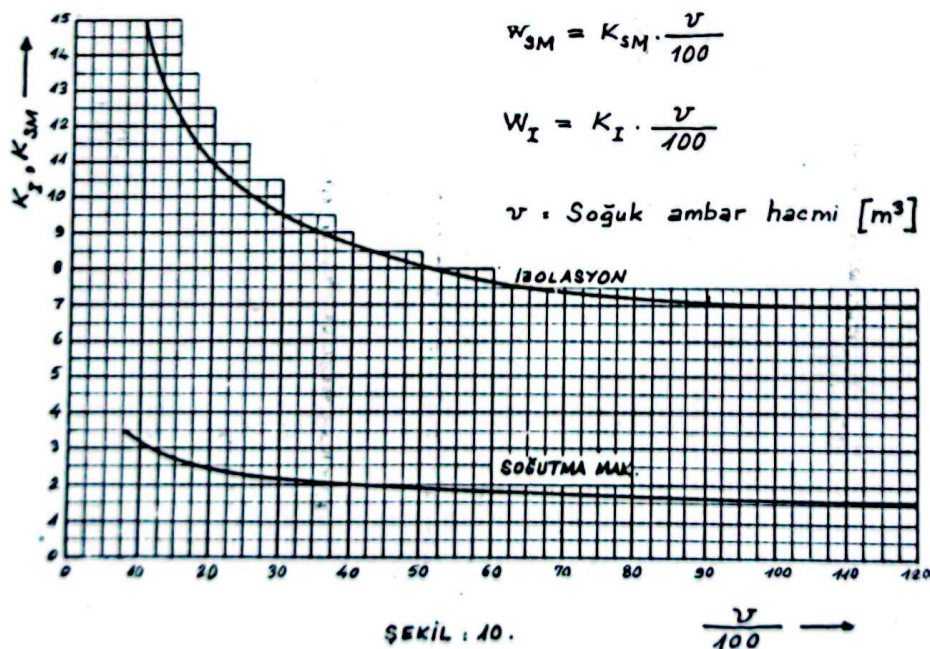
SEKİL : 9

MAKİNA VE TEFERRUAT. AĞIRLIĞI

$$W_{SM} = K_{SM} \cdot \frac{V}{100}$$

$$W_I = K_I \cdot \frac{V}{100}$$

V : Soğuk ambar hacmi [m^3]



SOĞUTMA MAKİNALARI VE İZOLASYON AĞIRLIĞI

NESAP ÖRNEĞİ

I.

Model No.						
	<u>ANA BOYUTLAR</u>					
1	L	m	135.00	145.00	155.00	138.90
2	$B = 11 (l/100) + 4.8$	m	19.650	20.750	21.850	20.079
3	$d_A = B/2.40 = 0.417 B$	m	8.194	8.653	9.111	8.373
4	$D_{SG} = 1.5 d_A + h - 2.893 = 15 d_A - 0.393$	rr	11.898	12.587	13.274	12.167
5	$D_{AG} = D_{SG} - h = D_{SG} - 2.50$	m	9.398	10.087	10.774	9.667
6	$d_K = 0.667 D_{SG} + 1.219$	m	9.155	9.615	10.073	9.334
	<u>FORM KATSAYILARI VE DEPLASMAN</u>					
7	$V_T = 1.057 V_s$	Kn	17.97	17.97	17.97	17.97
8	$V_T/\sqrt{L'} = 0.552 V_T/\sqrt{L'}$	kn. ft ²	0.854	0.826	0.797	0.842
9	$C_{P,K} = 1.2 - 0.63 V_T/\sqrt{L'}$		0.662	0.681	0.698	0.670
10	$C_{M,K} = 1.024 - 0.06 V_T/\sqrt{L'}$		0.973	0.975	0.976	0.973
11	$C_{B,K} = C_{P,K} \cdot C_{M,L}$		0.644	0.664	0.681	0.652
12	$LCB_K = 17.5 C_{P,K} - 12.5$	%	-0.92	-0.58	-0.29	-0.78
13	$\Delta_K = 1.033 \cdot C_{B,K} \cdot L \cdot B \cdot d_K$	t	16156	19843	23999	17533
14	$C_{B,A} = C_{B,K} - 0.23 \log d_K/d_A$		0.633	0.653	0.671	0.641
15	$\Delta_A = 1.033 \cdot C_{B,A} \cdot L \cdot B \cdot d_A$	t	16213	17562	21388	15463
	<u>NET ÇELİK AĞIRLIĞI</u>					
16	0.8 D _{SG}	m	9.518	10.070	10.619	9.734
17	$C_{B,0.8D_{SG}} = C_{B,K} - 0.23 \log d_K/0.8 D_{SG}$		0.648	0.669	0.686	0.657
18	$L \cdot B \cdot D_{SG}/1000$	m ³	31.562	37.871	44.956	33.933
19	L/D_{SG}		11.35	11.52	11.68	11.42
20	K_C^a	t. m ⁻³	84.4	85.5	86.9	84.9
21	$W_C^a = K_C^a \cdot L \cdot B \cdot D_{SG}/1000$	t	2664	3238	3907	2881
22	0.08 L Bas kasara : $K_{C,BK}^a$	t. m ⁻²	17.1	17.3	17.5	17.2
23	$W_{C,BK}^a = K_{C,BK}^a \cdot 0.08 L \cdot B/100$	t	36	42	47	38
24	0.40 L Kiç kasara : $K_{C,KK}^a$	t. m ⁻²	14.5	14.6	14.7	14.5
25	$W_{C,KK}^a = K_{C,KK}^a \cdot 0.40 L \cdot B/100$	t	154	176	199	162
26	0.37 L Uzun üst bina : $K_{C,UB}^a$	t. m ⁻²	19.9	20.8	21.6	20.3
27	$W_{C,UB}^a = K_{C,UB}^a \cdot 0.37 L \cdot B/100$	t	195	232	271	210
28	0.20 L Filika güv. üst binaları : $K_{C,B}^a$	t. m ⁻²	8.9	9.0	9.1	9.0
29	$W_{C,B}^a = K_{C,B}^a \cdot 0.20 L \cdot B/100$	t	47	56	62	50
30	0.07 L Vinc evcikleri : $K_{C,E}^a$	t. m ⁻²	8.9	9.0	9.1	9.0
31	$W_{C,E}^a = K_{C,E}^a \cdot 0.07 L \cdot B/100$	t	17	19	22	18

TABLO : I.

HESAP URNEĞİ

MENÜ NR.			a	b	c	d
32	$K_{C,RG}^m \rightarrow K_{C,UG}^m$	$t \cdot m^2$	10.0	10.0	10.0	10.0
33	0.60 L Uzun alt güv: $W_{C,UG}^m = K_{C,UG}^m \cdot 0.6LB/100$	t	159	181	203	168
34	0.23 L Kısa alt güv: $W_{C,RG}^m = K_{C,RG}^m \cdot 0.23LB/100$	t	61	69	78	64
35	$d_p = D_{SG} - \text{Double bottom yüks.} = D_{SG} - 1.250$	m	8.148	8.837	9.524	8.417
36	$K_{C,P}^m$	$t \cdot m^{-2}$	17.2	18.9	20.8	17.9
37	$W_{C,P}^m = 2 \cdot K_{C,P}^m \cdot B d_p / 100$	t	55	69	87	60
38	$d_K - d_A$	m	0.961	0.962	0.962	0.961
39	Kapalı S.G. için ekstra çelik ağırlığı	$t \cdot m^{-1}$	169	191	214	178
40	Reel ekstra çelik ağırlığı	t	162	184	206	171
41	Toplam net çelik ağırlığı	t	3550	4264	5082	3822
<u>TECHİZAT AĞIRLIĞI</u>						
42	$L \cdot B \cdot D_{SG} / 1000$	m^3	31.562	37.871	44.956	33.933
43	K_T	$t \cdot m^3$	24.8	23.8	23.2	24.4
44	$W_T = K_T \cdot L \cdot B \cdot D_{SG} / 1000$	t	783	904	1043	828
45	Ekstra	t	0	0	0	0
46	Toplam techizat ağırlığı	t	783	904	1043	828
<u>ANA MAKİNA GÜCÜ</u>						
47	C_s	$HP \cdot t^{2/3} \cdot m^{-2}$	0.754	0.742	0.729	0.748
48	V_T^2	Kd^2	5803	5803	5803	5803
49	$\Delta_K^{2/3}$	$t^{2/3}$	6394	7328	8320	6749
50	$SHP_r = C_s \cdot \Delta_K^{2/3} \cdot V_T^2 / 626.5$	HP	6557	7398	8252	6869
51	N	dak^{-1}	115	115	115	115
52	$C_{B,K} \cdot N \cdot VL^2 = 1.811 \cdot C_{B,K} \cdot N \cdot VL^2$	$dak^{-1} \cdot ft^{1/2}$	1558	1665	1766	1600
53	η_r	HP	0.743	0.734	0.726	0.739
54	$BHP = K \cdot SHP / \eta_r$, ($K=1.02$)	HP	9002	10281	11594	9481
55	B/d_K		2.15	2.16	2.17	2.15
56	B/d_K təshihli		0.988	0.988	0.988	0.988
57	BHP (təshihli)	HP	8894	10158	11455	9367
58	1.10 BHP (təshihli) = Max. kont. BHP	HP	9783	11174	12601	10304
59	BHP (niyət)	HP	9800	11200	12600	10300

TABLO : II.

HESAP ÖRNEĞİ

III.

Model No		a	b	c	d
	<u>MAKİNA VE TEFERRÜATI AĞIRLIĞI</u>				
60	K_M				
61	$W_M = K_B \cdot K_M \cdot BHM / 100 , (K_B = 0.05)$				
62	Ekstra				
63	Toplam makina ve teferrüatı ağırlığı				
	<u>SOGUTMA TESİSATI VE İZOLASYON</u>				
64	$V/100$				
65	K_{SM}				
66	$W_{SM} = K_{SM} \cdot V/100$				
67	K_I				
68	$W_I = K_I \cdot V/100$				
69	Toplam Soğutma tesisi ve izolasyon ağırlığı				
	<u>LIGHT - SHIP</u>				
70	Toplam net çelik ağırlığı				
71	Toplam teçhizat ağırlığı				
72	Toplam makina ve tef. ağırlığı				
73	Toplam soğutma tes. ve izolasyon ağırlığı				
74	Marcin, ~ 1%				
75	Light - Ship				
	<u>DEADWEIGHT</u>				
76	DEPLASMAN, KAPALI S.G.				
77	DEADWEIGHT, KAPALI S.G.				
78	DEPLASMAN, AÇIK S.G.				
79	DEADWEIGHT, AÇIK S.G.				
	<u>DEADWEIGHT / DEPLASMAN</u>				
80	DW/A, KAPALI S.G.				
81	DW/A, AÇIK S.G.				

olarak "polyurethane" kullanılabilsa, (Şekil: 10) dan bulunacak izolasyon ağırlığından % 30 nispetinde bir indirim yapılabılır.

Light - Ship:

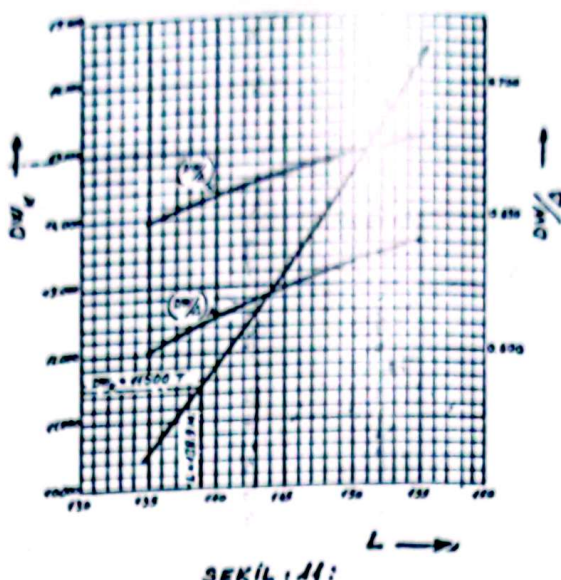
Madde 70 - 75. Geminin light - ship ağırlığı; net çelik teçhizat, makina, soğutma tesisi ve izolasyon ağırlıklarının toplamına % 1 ihtiyat ağırlık ilâve etmek suretiyle elde edilir.

Deadweight ve Deplasman:

Madde 76 - 81. Evvelce bulunmuş olan, (Δ_A) ve (Δ_K) değerlerinden, light - ship ağırlığı çıkarılarak, (Açık Şelter Güverte) ve (Kapalı Şelter Güverte) için (DW) bulunabilir.

$L = 135 \text{ M.}, 145 \text{ M. ve } 155 \text{ M.}$ için bulunan (DW_K) değerleri (Şekil: 11) de görüldüğü gibi plot edile-rek, arzu edilen 11500 T.D.W.'i sağlayan nihai L değeri bulunur. (Misâlimizde $L = 138.90 \text{ M.}$)

Bu değer için aynı hesap yolu yeniden takip edilmek suretiyle (sütun: d) nihai boyutlar ve ağırlık değerleri bulunur.



ŞEKİL 11:

ENTERPOLASYON EĞRİLERİ

REFERANS

1. «Merchant Ship Design»
R. Munro-Smith, 1965.
2. «Estimating Preliminary Dimensions in Ship Design»
D. Watson
I.E.S.S. Glasgow, 1962.
3. «Form Coefficients»
J. Sainsbury
Ship and Boat Builder, 1963.
4. «Hull-weight Estimation»
R. Munro-Smith
The Shipbuilder and Marine Engine-Builder, 1961.
5. «Vertical Centre of Gravity of Ships' Steel Hulls»
H. Raben
Transactions of the Danish Academy of Technical Sciences, 1947.

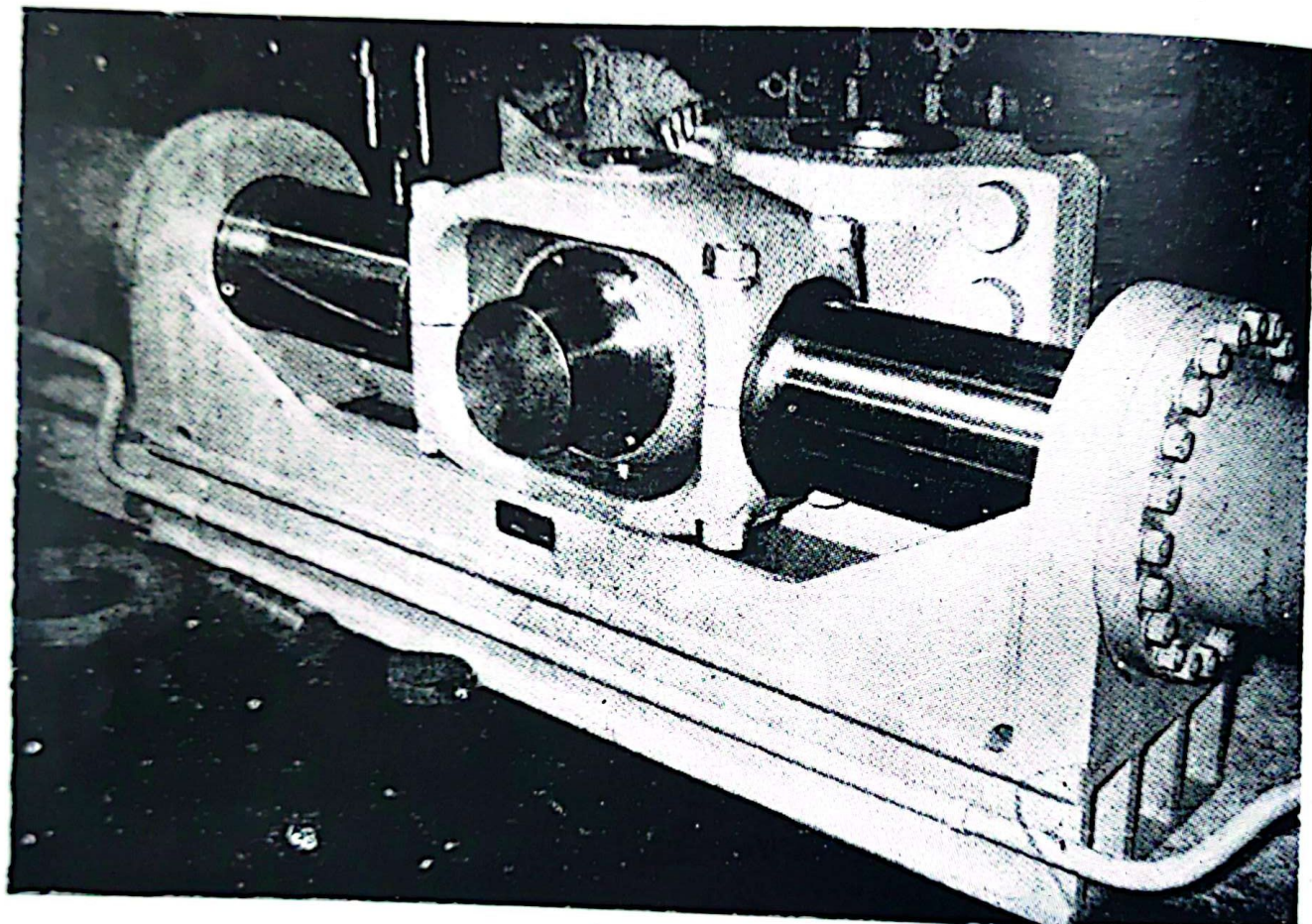
SEMBOL ve KISALTMALAR

B	m.	Kalıp genişliği
BHP	hp	Ana makina gücü
$C_{f,A}$	—	Blok katsayısı
C_{BOK}	—	Orta kesit kat-sayıısı
$C_{M,A}$	—	Orta kesit kat-sayıısı
$C_{M,K}$	—	Prizmatik katsayısı
C_s	$\text{hp}/\text{ton}^{1/3} \times \text{kn}^{-1}$	Spesifik direnç katsayısı

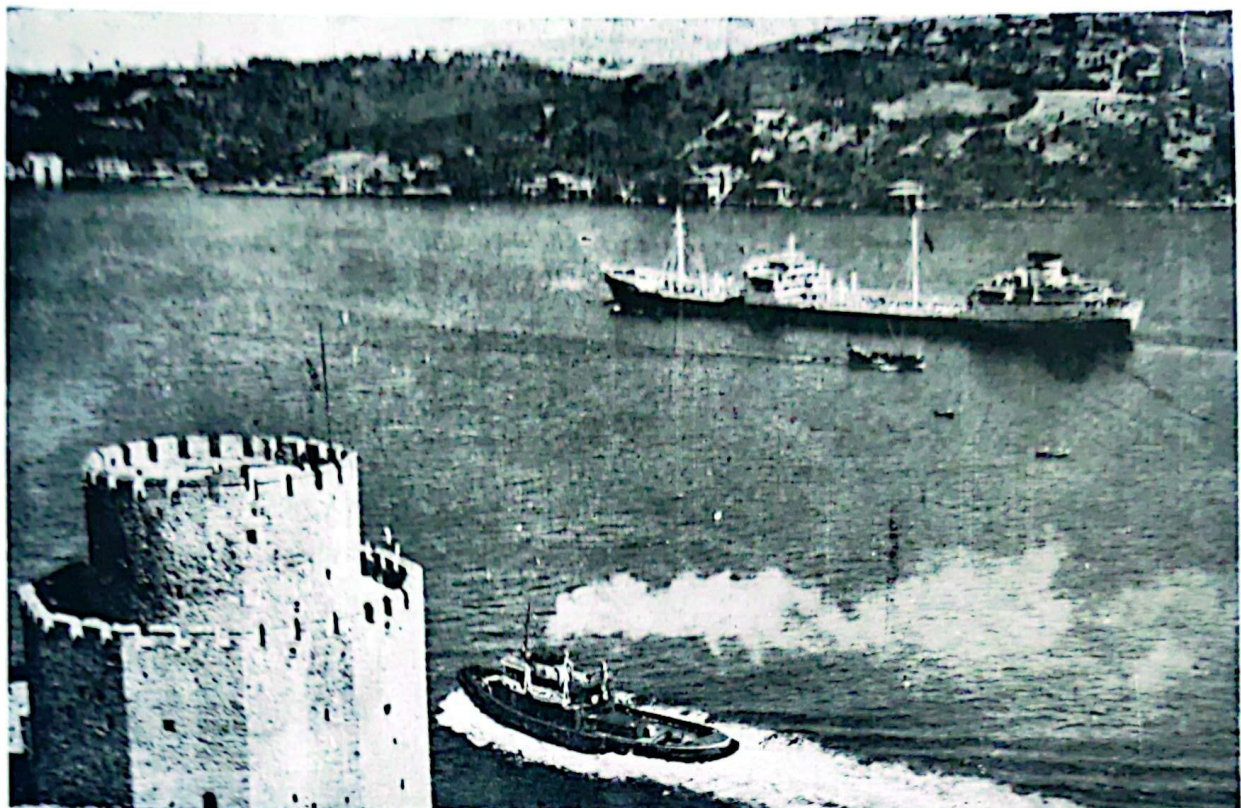
- { Açık Şelter Güverte için
- { Kapalı Şelter Güverte için
- { Açık Şelter Güverte için
- { Kapalı Şelter Güverte için
- { Açık Şelter Güverte için
- { Kapalı Şelter Güverte için

d_t	{ m. }	Draft	Açık Şelter Güverte için Kapalı Şelter Güverte için
$D_{t,e}$		Derinlik	
$D_{t,g}$			Ana güverte Şelter güverte
D_w	Ton	Deadweight	
K_{ζ}	Ton $\times m^{-3}$	Çelik ağırlık katsayısı, Şelter güverteye kadar	
$K'_{\zeta,BK}$	Ton $\times m^{-2}$	Baş kasara	
$K'_{\zeta,B}$		Filika güvertesi üzerindeki binalar	
$K'_{\zeta,E}$		Vinç eveik ve platformları	
$K'_{\zeta,KB}$		Kısa üst binalar	
$K'_{\zeta,UB}$		Uzun üst binalar	
$K'_{\zeta,CK}$		Kıç kasara	
$K'_{\zeta,KG}$		Kısa alt güverte	
$K'_{\zeta,UG}$		Uzun alt güverte	
$K''_{\zeta,P}$	Ton $\times m^{-2}$	Çelik ağırlık katsayısı, ekstra su geçmez perdeler	
K_{SM}	Ton $\times m^{-3}$	Ağırhk katsayısı, soğutma makinaları	
K_I	Ton $\times m^{-3}$	Ağırhk katsayısı, izolasyon	
K_M	Ton $\times hp^{-1}$	Ağırhk katsayısı, makina ve teferruatı	
K_T	Ton $\times m^{-3}$	Ağırhk katsayısı, Teçhizat	
L	m.	Kaimeler arası gemi boyu	
L'	ft.		
LCB	%	Sephiye merkezinin mastoriden kıca mesafesi	
LS	Ton	Light—ship	
N	dak $^{-1}$	Pervane devir adedi	
SHP	hp	Şaft beygir gücü	
V_I	Kn.	Gemi hızı	Tecrübe Servis
V_S			
W'_{ζ}	Ton	Çelik ağırlığı, Şelter güverteye kadar	
$W'_{\zeta,BK}$	Ton	Baş kasara	
$W'_{\zeta,B}$		Filika güvertesi üzerindeki binalar	
$W'_{\zeta,E}$		Vinç eveik ve platformları	
$W'_{\zeta,KB}$		Kısa üst binalar	
$W'_{\zeta,UB}$		Uzun üst binalar	
$W'_{\zeta,CK}$		Kıç kasara	
$W'_{\zeta,KG}$		Kısa alt güverte	
$W'_{\zeta,UG}$		Uzun alt güverte	
$W''_{\zeta,P}$	Ton	Çelik ağırlığı, ekstra su geçmez perdeler	
W_{SM}	Ton	Soğutma makinaları ağırlığı	
W_I	Ton	Izolasyon ağırlığı	
W_M	Ton	Makina ve teferruatı ağırlığı	
W_T	Ton	Teçhizat ağırlığı	
Δ_A	Ton	Deplasman, açık Şelter Güverte için	
Δ_E	Ton	Deplasman, Kapalı Şelter Güverte için	
η_f	—	Toplam sevk verimi	

SVENDBORG DÜMEN MAKİNALARI



3000 gemi SVENDBORG ELEKTRO-HİDROLİK DÜMEN MAKİNASI kullanıyor
Svendborg Shipyard, Svendborg, Danimarka Telefon: 49 17 85
Türkiye Genel Acentesi: YEDI DENİZ, Kabataş Derya han 205 İstanbul



18300 DEDVEYTTONLUK (M/T TURGUT REİS) TANKERİ

Denizcilik Limited Şirketi

Muhtelif tonajdaki tankerler ile akaryakıt ve akıcı dökme her nev'i
nebatı yağlar ve melas nakliyatını en müsait şartlar ile temin eder.

**Boğaziçi'nin Beykoz mevkiiindeki tersanesinde (120) metre boyuna
kadar gemi inşaatı ve her nev'i Deniz Dizel Motorları tamiratı,
ehliyetli mühendis ve teknisyenler nezaretinde yapılır.**

FİLO

S/T ATA	50.026 DWT.
M/T TURGUT REİS	18.300 DWT.
M/T HİZİR REİS	1.115 DWT.
M/T AYDIN REİS	1100 DWT.
M/T ORUÇ REİS	1.000 DWT.
M/T PİRİ REİS	1.000 DWT.
M/T BURAK REİS	630 DWT.
M/T BİZİM REİS	780 DWT.
M/T KÜÇÜK REİS	120 DWT.

VE

Beykoz'da gemi inşaat ve tamirat tersanesi.

Fındıklı Han Kat 4, Fındıklı - İstanbul

Telefon: 44 75 95 (5 HAT)

Telgraf: HABARAN - İSTANBUL

Teleks: 330 İSTANBUL

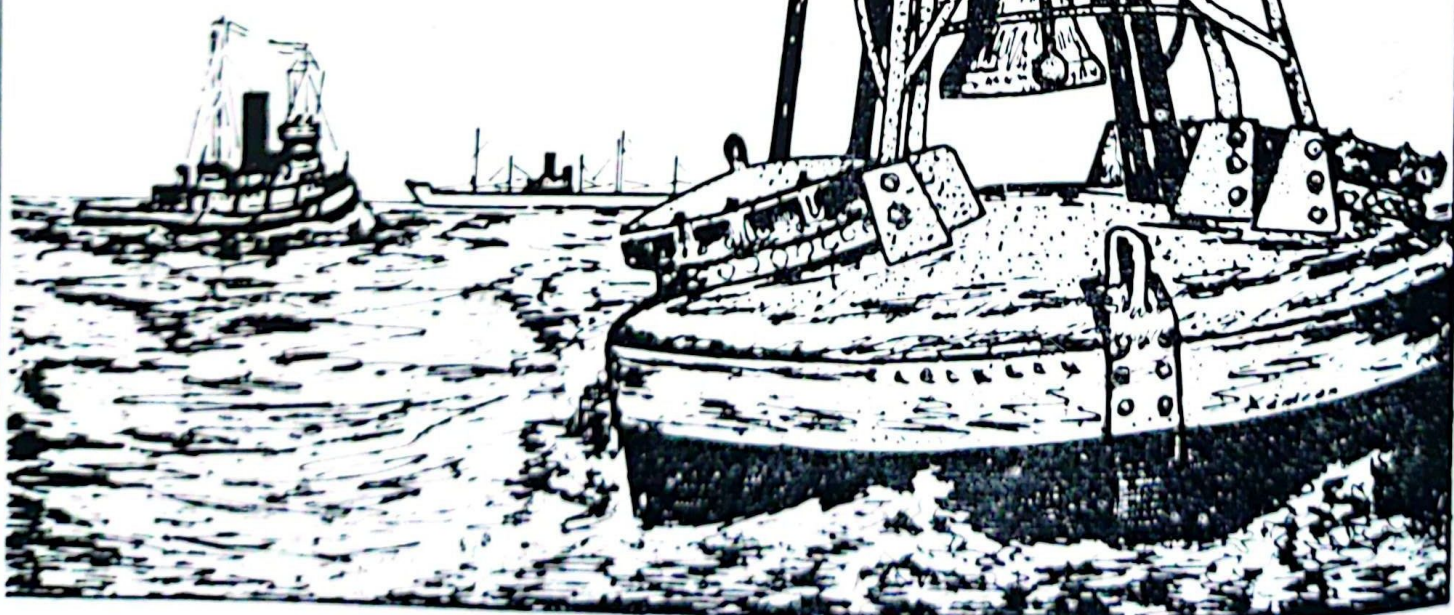


Dünyadaki Deniz Ticaret Filosu sahiplerinin menfaati; Mobil Bunker ve Makina Yağlarını kullanarak daha sür'atli ve daha randımanlı bir işletmecilikle sağlanabiliyor.

Hepsi biliyor ki, gemilerinin güvertesinde Mobil Deniz Servisinin yetkili bir mütehassisi her zaman bütün imkânlarıyla hizmete hazırlıdır.

Yine hepsi biliyor ki, 100 senelik tecrübe ve mütehassis bir teknik servis onlara yalnız menfaat sağlar.

Bu servisten faydalananız.



Ayaklı Tekneler

Derleyen :
Yücel ODABAŞI
Gemi İnş. ve Mak. Y. Müh.
(Geçen sayıdan devam)

4— AYAKLI TEKNELERİN DIRENCİ

Ayaklı teknelerin direncini tekne ile denizin (suyun) karşılıklı durumuna bağlı olarak üç ayrı durumda incelemek faydalıdır. Bunlar deplasman durumu, ayaklar üzerinde yükselme durumu ve ayaklar üzerinde seyir durumudur. Bu irdelemeleri yapmadan evvel hidrofoil ayaklar etrafındaki akımı kısaca görelim.

Pratik dizayn ve konstrüksiyonun bir meselesi olarak, hidrofoil ayaklar çalışma şartlarının müsaadesi nispetinde tekneye mümkün olduğu kadar yakın ve su sathından sabit derinlikte olacak şekilde yapılır. Bazı dizaynlarda, foillerin en iyi pozisyonda çalışmasını temin maksadıyla ayaklar tekne içine çekilebilir veya uzatılabilir şekilde yapılır. Ancak bu büyük teknelerde pratikman uygun değildir. Bu harekette, derinliğin azlığı sebebiyle kavitasyon sayısının küçük olması ve izafî olarak yüksek sür'at dolayısıyle hidrofoillerin sırtında satha yakını kalındığı müdahale kavitasyon tehlikesi vardır. Küçük bir dalga çukurunda da bu tehlike mevcuttur. Bunun dışında hücum açısı çok büyümüşse normal derinlikte de kavitasyon olur. Burada efektif hücum açısı, hidrofoildeki lokal izaffî hareket doğrultusuna göre hesap edilir. Foil etrafındaki sirkülasyon şeklini bozmadan ve çok geniş bir sahaya yayılmamak şartıyla mutlak basıncın düşmesiyle hasıl olan kavitasyon kendi başına çok zararlı değildir. Ancak bu basınç düşüşü dalga çukurunda incelmiş su tabakası üzerinde hava emilmesi ve dolayısıyle lift kaybına sebep olur ve

tekne âni olarak irtifa kaybeder. Batma oranı h/c, pratik olarak tekne en yüksek konumunda giderken foil üstü ile serbest satır arasındaki mesafe olarak tarif edilir. Batma oranının 1.0 ilâ 3.0 olduğu pratik sahada serbest satha yakınlığın zararlı tesiri pek ehemmiyetli değildir.

Hidrofoil ayaklar etrafındaki akımı kısaca gözden geçirdikten sonra direnç üzerindeki incelemelerimize yeniden devam edebiliriz. ŞEKİL 12 de direncin üç safhası tandem aranjmanlı bir hidrofoil tekne için görülmektedir.

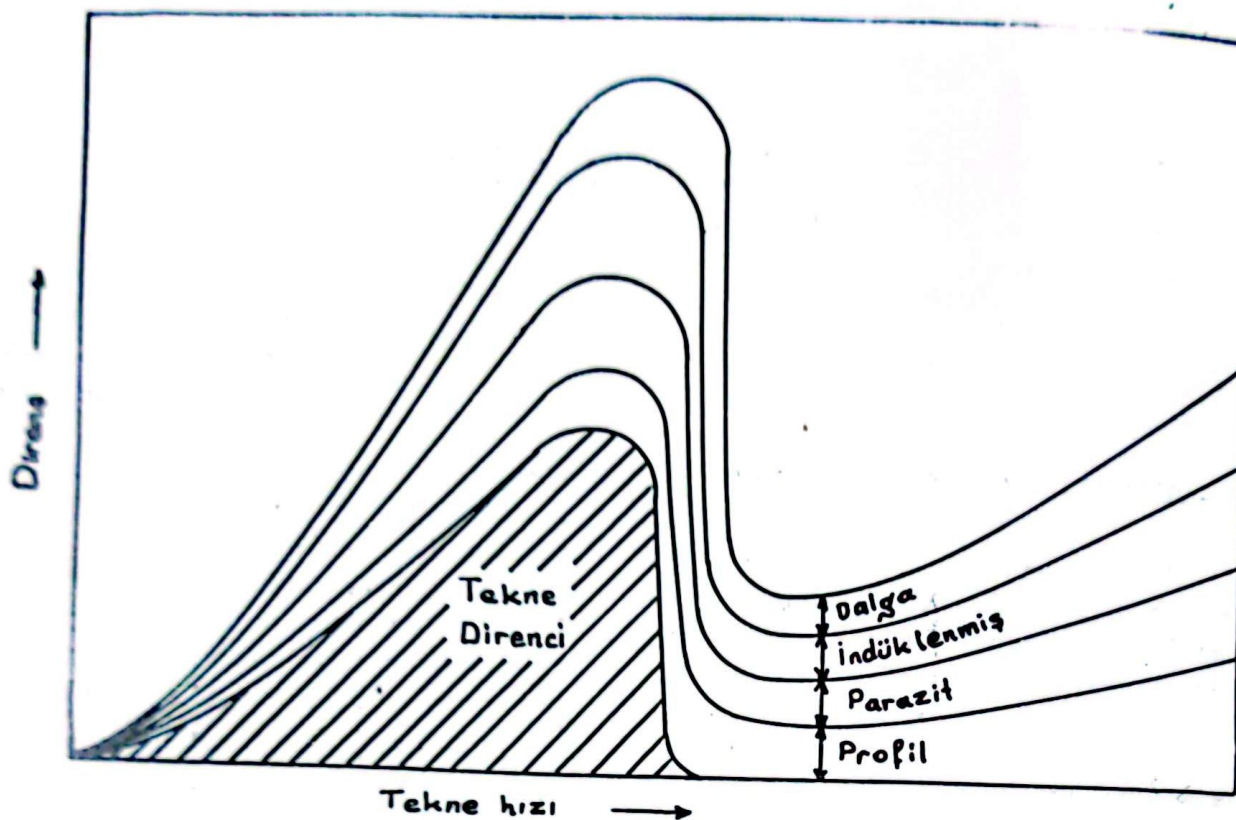
Deplasman durumundaki direnç aynen konvansiyonel deplasman teknelerindeki gibidir. Yalnız ayaklar ve foiller sebebiyle takıntı direnci diğer teknelerden daha fazladır. Bu konumun üzerinde fazla durmıyacağız.

Ayaklar üzerinde, seyir durumunda tekne dinamik little taşındığından,

$$W = L = C_L \frac{\rho}{2} SV^2$$

dir. Burada, S foil projeksiyon alanıdır. Foil şekli ve çalışma şartları için lift katısayısı C_L in seçiminde birbiriyile çatışan talepler dolayısıyle çok dikkatli bir komprenis yapmak lâzımdır. Bahsi geçen talepler,

- 1— Yüksek foil mukavemeti
- 2— Minimum total direnç
- 3— Foil kavitasyonunun olmaması
- 4— Ayaklar üzerinde yükselme sürtünde ters akımın olmamasıdır.



Şekil 12

Bu mülahazalarla seçilecek bir foilde emme basıncının mümkün olduğu kadar uniform dağıldığı, kalınlık oranının %10 ve lift katsayısının 0.25 civarında olması esas alınarak direnç tayini yapılabilir. Aerodinamik datalardan elde edilen foil C_L değeri sonlu batma derinliği sebebiyle tashih edilebilir. Hidrofoil teknelerin total direnci aşağıdaki gibi ifade edilebilir.

$$D = C_D \frac{\rho}{2} SV^2$$

Direnci dört ayrı kısma ayrılabilir. Bunlar profil, parazit, induklımlı ve dalga direncidir.

$$C_D = C_{D0} + C_{Dp} + C_{Di} + C_{Dw}$$

Bunlardan takıntı ve profil dirençlerinin sürtüne ve form bileşenleri varken, induklımlı direnç ve dalga direnci tabiatın bir neticesidir. Pratik limitler içinde gerek strut ve gerekse foillerin profil dirençleri üzerinde serbest sathın önemli bir etkisi görülmez. Bu direnç katsayıları bilinen aerodinamik datalardan alınabilir. Taşıyıcı bir satır için profil direnç katsayısı şu şekilde ifade edilebilir.

$$C_{D0} = (C_{D0})_{min} + KC_L^2$$

Burada $(C_{D0})_{min}$ ve K kullanılan profil kesitinin ve Reynold sayısının fonksiyonudur.

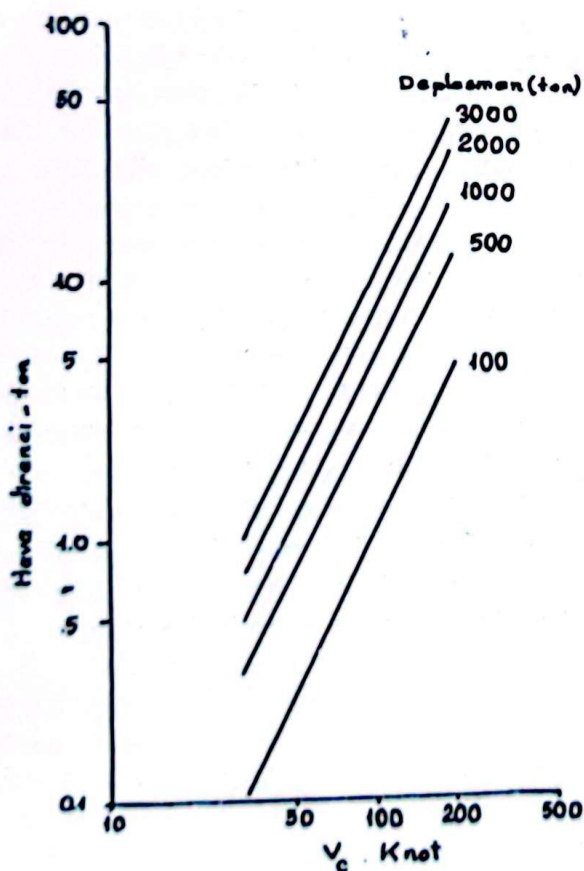
Parazit direncin ana elemanları, tekneden hava direnci, strutların hasıl ettiği satır interferans direnci (=serpenti direnci), foil-strut bağlantısı interferans direnci ve su altındaki diğer takıntıların direncidir. Bir veya daha fazla foil-strut bağlantısı olması halinde, buna tekabül eden direnç katsayısı C_L^2 nin fonksiyonudur. Parazit dirençlerin yalnız bir tanesi ayaklı teknelerde özel bir ehemmiyeti haizdir. Bu strutların veya foillerin su sathını verdiği noktada hasıl olan satır interferans direnci ve serpenti direncidir. Bu direncin çok yüksek FROUDE sayıları sebebiyle hasıl olan dalga direnci bileşeni, strut kortu c nin fonksiyonudur ve aşağıdaki tecrübe ifadeyle tayin edilebilir.

$$R = C_{Dt} \frac{\rho}{2} V^2 \cdot t^2$$

Burada t strut kalınlığıdır ve FROUDE

sayı $F_c = V/\sqrt{gc}$ nin 10 dan büyük değerleri için yaklaşık değer olarak $C_{Df} = 0.2$ alınamabilir. Düşük FROUDE sayılarında C_{Df} değeri çok büyür ve kabaca kalanlık oranı t/c ile orantılıdır denebilir. Serpinti direnci üzerinde strut profili ve rake açısının tesirinin tayini üzerinde genelleştirme yapmak zordur.

Yüksek seyir sür'atlerinde hava direncinin de gözüne alınması gereklidir. ŞEKİL 13 de deplasman parametre olarak alınarak hız üzerinde hava direnci plot edilmiştir. Hava direncinin bu değerleri rüzgâr şartları ile değişimini gösteren verilen şekildeki değerlerde cephe alanı için direnç katsayısı 0.20 olarak alınmıştır. 100 knot'a seyreden 500 ton deplasmanlı bir teknenin verilen şekilde görüleceği gibi 3.8 ton veya 8500 libre hava direnci vardır. Bu taşıtanın total direncinin ortalama olarak yüzde altısına tekabül eder. Hava direncinin önlenmesi sadece iyi tekne ve üst yapı dizayn teknigi ile mümkündür. Rüzgârin tam pruvalan gelmesi halinde hava direnci çok daha önemli bir faktör olur.



Şekil 13

Bu makalede ayaklı tekne direncinin diğer kısımları olan dalga direnci ve indüklenmiş direnç bileşenlerinin ayrı ayrı irdelenebileceğini kabul ediyoruz. Uniform yüklenmiş ve tamamen batmış tip bir foil bir atnalı girdap sistemiyle belirtilebilir. Indüklenmiş girdap veya uç girdabı direnci klasik hidrodinamikten bilinen bir imaj sistemi yardımıyla bulunabilir. Indüklenmiş direnç foilin kendisi ve girdapları tesiriyle tayin edilen direnç ve imaj uç girdapları tesiriyle tayin edilen direncin toplamına eşittir ve şu şekilde ifade edilebilir.

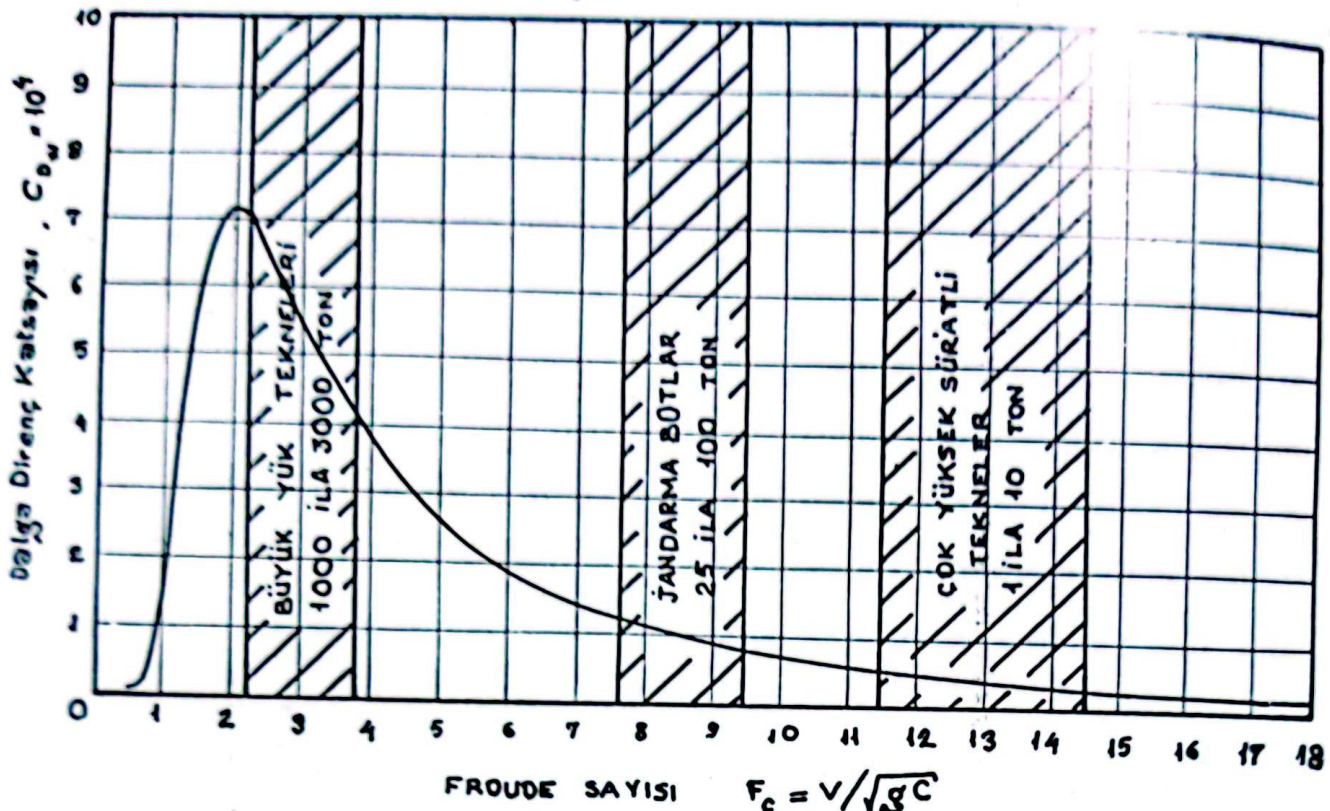
$$C_{Df} = \frac{C_L^2}{\pi \cdot AR} (1 + \sigma) (1 + \delta)$$

Burada AR foilin yan oranı, σ Munk interferans faktörü ve δ ise satih tashihidir. Bu formül pratik dizayn sahasında tecrübeyle makul derecede bir uygunluk gösterir.

Çevre girdap sirkülasyonu yardımıyla iki boyutlu olarak dalga direncinin incelemesi dalga direnci katsayılarının tayini için uygunudur. 1934 de KELDYSCH ve LAVRENTIEV tarafından tayin edilmiş ve burada yapılan, batma derinliğinin lifte teiri'nin ihmali kabulüyle tadir edilmiş dalga direnci katsayısi ifadesi aşağıdadır.

$$C_{Dw} = 0.5 \frac{C_L^2}{F_c^2} e^{-2/F_h^2}$$

Burada $F_c = V/\sqrt{gc}$ kort boyu ile ilgili FROUDE sayısı, $F_h = V/\sqrt{gh}$ batma derinliği h ile ilgili FROUDE sayısıdır. İfadeden görüleceği gibi dalga direnci birinci derecede C_L^2 nin ve sonra F_c ve F_h in fonksiyonudur. Burada F_c ve F_h şeklindeki iki FROUDE sayısı yerine, strut direnci ve mukavemet limiteyle sınırlanmış, foil sayisıyla ilgili batma derinliğini de belirtebilen bir tek F_c sayisıyla dalga direnci karakterize edilebilir ve bu fizibil dizayn için lüzumlidur. Burada efektif tekne boyu veya karekteristik boy basit olarak artan sür'atle dalga direncinin azalduğu rejim halinde, taşıyıcı hidrofoilin kort boyudur. ŞEKİL 14 de ayaklı tekne tiplerinde dalga direncinin izafî durumu görülmektedir.



Şekil 14

Boyuşların artması ve güç tehdidi sebebiyle dizayn hızının azalması halinde, dalgı direnci total direncin en önemli bileşeni olur. Bu durumda tandem foil aranjmanı kullanarak ve baş foillerin hasıl ettiği dalgaların kıl foillerin tarafından söndürülmesini temin edecek şekilde ayarlayarak dalgı direncinin önemli bir kısmının elimine edilmesi mümkündür. h batma derinliğinde, iki boyutlu incelemede serbest yüzeydaki bozulma, Γ şiddetindeki çevre girdapı arkasında x mesafesinde,

$$y = -\frac{2\Gamma}{V} e^{-1/F_c^2} \sin \frac{gx}{V^2}$$

şeklindedir. Burada V akım hızıdır. Bu formül büyük x değerleri için doğrudur. Bozulma tesiriyle hasıl olan dalgı boyu $2\pi V^2/g$ dir ve x , dalgı boyunun $1/4$ ünden büyük olursa yukarıdaki formül iyi bir yaklaşım verir.

Ayaklar Üzerinde Yükselme — Ayaklı tekneler dizaynında ve özellikle güç tayininde üzerinde en fazla dikkat edilmesi gereken husus ayaklar üzerinde yükselseme şartlarıdır. Ayaklar üzerinde yükselseme durumu teknelerin suyu terkettiği an veya

44

teknelerin liftinin ve su direncinin nihayete erdiği an olarak tarif edilebilir. Yani teknede sephiyenin temin ettiği liftin sıfır olması hali ayaklar üzerinde yükselme olarak tarif edilmektedir. Bundan sonraki kısmında ifade kışlığı yönünden ayaklar üzerinde yükselmeden sadece yükselme diye bahsedeceğiz. Yükselme konumu direnç eğrisinde zirvenin biraz gerisinde vuku bulmaktadır. Bu durum ŞEKİL 12 de görülebilir. Yükselme olduktan sonra direnç azalarak minimuma düşer ve sonra artarak tam gücle maksimum sür'ate erişir. Kullanılan makinanın gücü yükselseme için gerekenden fazla olacaktır. Bu surette denizli havalarda yükselme mümkün olur. Ayrıca ek itme bir ivmelendirme kuvveti olarak etkiyerek yükselme için lüzumlu zaman ve mesafeyi azaltır.

Seçilecek yükselme sür'ati lift katsayı ile yakından ilgilidir. Yükselme hali için lift katsayıyı büyük ve yükselseme sür'ati düşük seçilmelidir. Bu surette uzun süre tam gücle çalışmanın ve yükselmeye mani olabilecek karşılaşmasının önüne geçilmiş olur. Görülebilir ki, yükselseme mesafesi hızın karesiyle değişir ve hızındaki

küçük bir artma mesafede büyük artmala sebep olur. Bu halde indüklenmiş direnç de lift katsayısının karesiyle artacağından pratikde kabul edilemeyecek büyük güç talepleri ortaya çıkar.

Bu iş için seçilecek tekne formu üzerinde de dikkatle düşünülmelidir. Yüksek sür'atte giderken meydana gelecek çarpa yüklerini azaltmak için U veya V formu düz dipli kesitlere tercih edilir. Ayrıca bu formun deplasman durumundaki direncinin de uygun olması lazımdır. Satılık yarıçı tipde daha küçük bir direnç zirvesi vardır. Buna mukabil tam batmış tipler daha düşük sür'atlerde yükselebilirler. Düşük sür'atte yükselebilmek için büyük lift katsayılarına ihtiyaç vardır. Maksimum hızın %50 sinde yükselme olsa lift katsayısının maksimum hızdakinin dört misli olması gereklidir. Bu takdirde C_L^2 nin fonksiyonu olan indüklenmiş direnç de maksimum sür'attekinin takriben dört misli olur. Büyük lift katsayıları hücum açısının büyütülmesiyle elde edilir. Satılık yarıçı tipde su altında kalan alan arttırılarak lift artırılabilir. Bu durumda yan oranı değişimi de gözönüne alınırsa indüklenmiş direnç her iki tip için hemen hemen aynı olur. Bu izahattan egzakt yükselme noktasının tespitindeki güçlük görülmektedir.

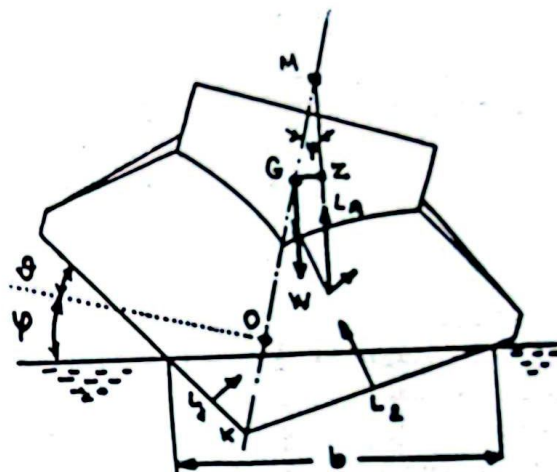
Bu kısa incelemede direnç üzerinde foil ve strutların pürüzlülük ve kirlenme tesirini ihmali ettiğim. Bu bilhassa büyük teknelerde önemlidir. Burada NACA'nın standart pürüzlüğünü kabul etmek pek doğru olmaz. Bu konuda kantitatif incelemeyi mümkün kılacak herhangi bir data da henüz mevcut değildir.

5.— AYAKLI TEKNELERİN STABİLİTESİ.

Ayaklı teknelerin deplasman tekneleri ve kayıcı teknelere nazaran en büyük üstünlüğü çok yüksek sür'atlere çıkabilecekleri ve bu sür'atleri nispeten sert denizlerde de devam ettirebilmeleridir. Eğer bugün ayaklı teknelerin stabilitet sorunu önemli bir yer tutuyorsa, bu, profillerin geometrisi, serbest su sathı, kanatlar üzerinde kaldırma kuvveti dağılışı ve tekne

ağırlık merkezinin kanatlara nazaran mevkii gibi birçok faktörün stabiliteti etkilemesinden ve bunların matematik yoldan hesabının pek kolay olmamasındandır.

Ancak, müşahedelere dayanarak ayaklı teknelerin deplasman teknelerine nazaran daha denizci oldukları söylenebilir. Serbest su sathının ayaklı teknelerin stabilitesi üzerindeki tesiri deneylerle ve teorik olarak değişik çalışmalarla incelenmişse de henüz kat'i sonuçlar alınamamıştır. Bu durumda konstrktörün araştırma neticelerini dikkatle incelemesi lazımdır, çünkü çalışma sahası sınırlanmıştır.



Şekil 15

Ayaklı teknelerin enine stabilitesini inceleyen genellikle konvansiyonel gemiler için kullanılan metodlar, başlangıç stabilitesi için metasantr yüksekliği ve meyilli halde GZ-eğrisi, kriter olarak alınabilir. ŞEKİL 15 de bu analoji V foilli satılık yarıçı tip için görülmektedir. Eğer ağırlık merkezi çok yukarıda değilse satılık yarıçı kanatlarda enine stabilitet tabii olarak mevcuttur. Sür'atin değişmesiyle veya teknenin dalgalar arasında hareket etmesiyle su içindeki kanat alanı değişir. Kaldırma kuvvetinde herhangi bir sebeple bir azalma olursa tekne bir miktar batar ve suya giren kanat alanları lüzumlu ilâve kaldırma kuvvetini temin ederler.

Dalma genişliği b olduğuna göre,

$$W = L_R = C_L S \frac{\rho}{2} V^2 = \text{sabit}$$

$$AR = \frac{b}{c} = \frac{b^2}{S} = \text{sabit}$$

Başlangıç stabilitesi,

$$GM = \frac{b}{2 \sin \theta} - KG$$

Metesantr yüksekliği,

$$GM_\varphi = b \cdot \frac{\cos 2\varphi}{\sin 2\theta} - KG \cdot \cos \varphi$$

Doğrultma kolu,

$$GZ = \frac{b}{2} \frac{\sin 2\varphi}{\sin 2\theta} - KG \cdot \sin \varphi$$

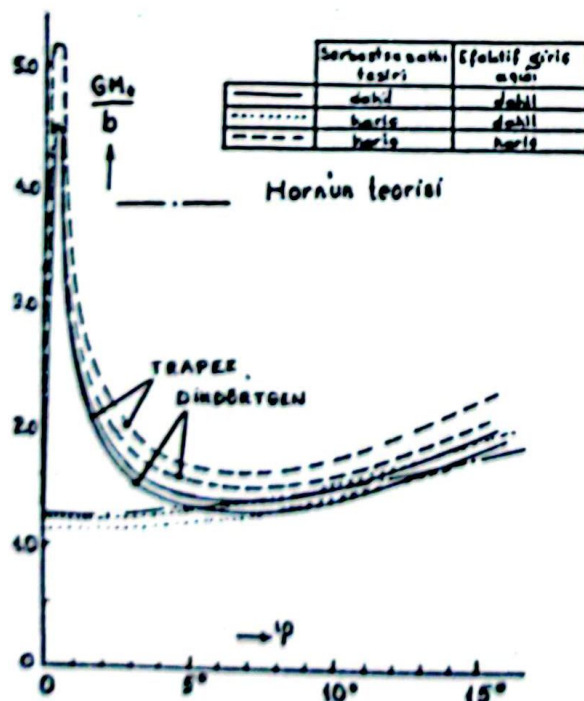
Stabilité momenti,

$$M_{st} = W \cdot GZ$$

Küçük açılarda stabilité momenti,

$$M_{st} \approx W \cdot GM \cdot \sin \varphi$$

Serbest su sathının stabiliteyi azaltıcı tesirleriyle, Sottorf, Weinig ve Wladimirow ilgilenmiş ve üzerinde çalışmışlardır. Kanat kalkıntı açısının büyütülmesi, lifti ve dolayısıyle stabiliteyi azaltır. En iyi kalkıntı açısı 28° ile 30° dir. Metesantr yüksekliğinin yaklaşık hesabı için serbest su yüzeyinin tesirini nazarı itibara almak lazımdır. 2 kanatlı teknelerde her bir kanat için metesantr noktası ve GZ eğrisi hesap edilmeli ve bunlardan bileşke tayin edilmelidir.



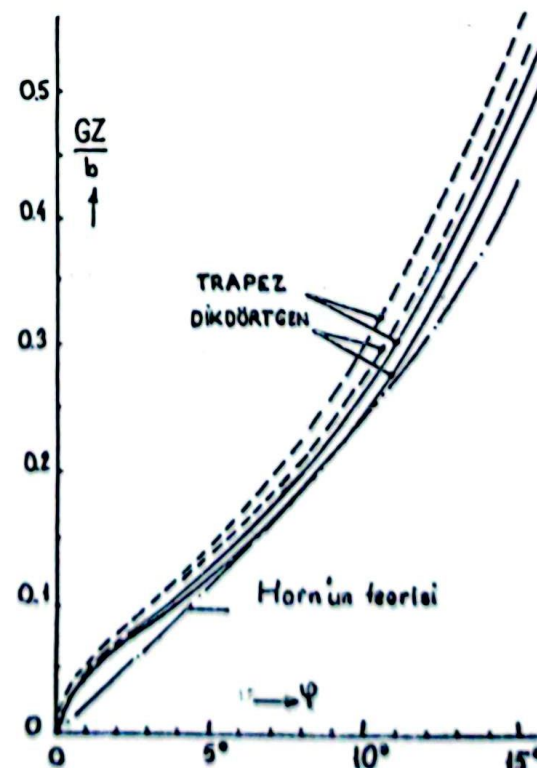
Şekil 16

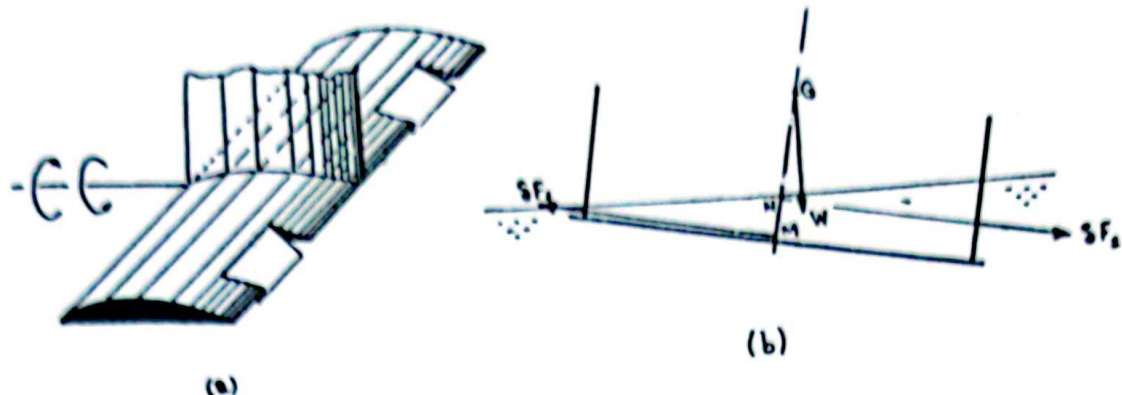
Nishiyama satılık yarıçapları için bir hayli matematik işlemi yapmayı ettiren hassas bir stabilité hesabı metodunu ortaya koymuştur. Bu metodda,

- Profil açıklığının sirkülasyona tesiri,
- Sirkülasyon ve kaldırma kuvveti yayılışına serbest su sathi tesiri,
- Salma ve yalpa açısal hızları dolayısıyle hücum açısının değişmesi nazarı itibare alınmıştır. ŞEKİL 16 da Nishiyama ve Horn'un metodlarının mukayesesini vermiştir.

Tamamen batık kanatlar halinde stabilité çok daha önemli bir problem teşkil eder. Bunlarda tabii olarak stabilité temin edilemez. Stabilité temini için ŞEKİL 17-(a) ve (b) deki iki aranjman kullanılabilir. (a) aranjmanında foillerin arkasında flaplar bir yükselti dümeni olarak kullanılır. (b) aranjmanında ise serbest su sathi tesirinden istifade edilebilir. Meyilde yükselen tarafta lift azalacak, bu surette bir stabilité momenti temin edilecektir.

Tamamiyle batık tip, satılık yarıçapı tipinden daha mütekâmil bir sistemdir. Bu sis-





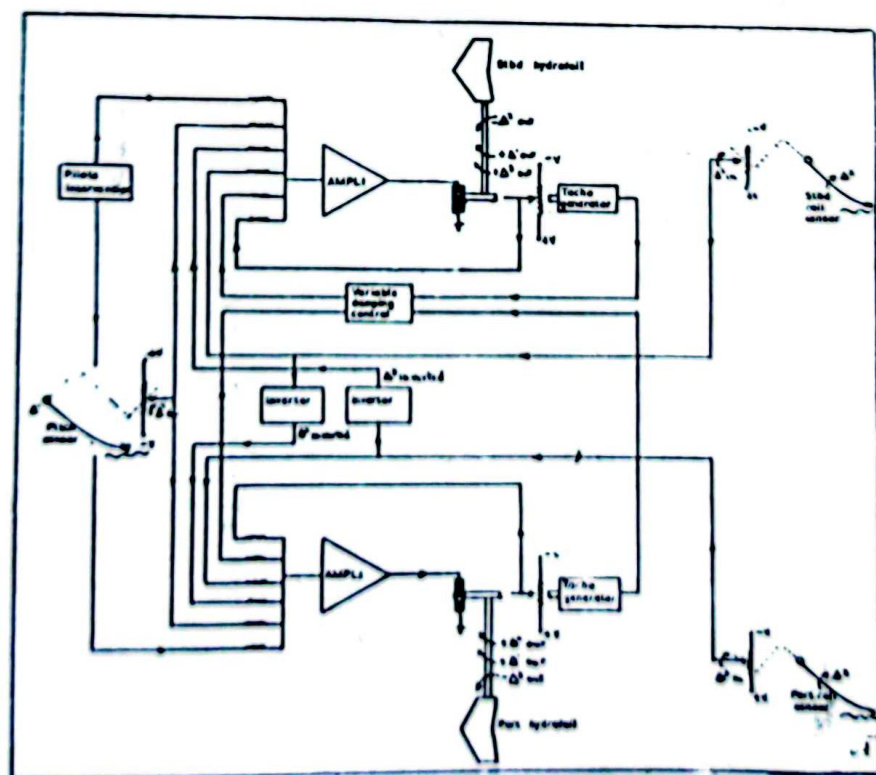
Şekil 17

temde teknenin daha yüksek dalgalar arasında seyretmesi mümkündür. Yalnız bu tipte mekanik, elektronik veya ultrasonik bir su sathi izleyicisinin verdiği sinyallerle çalışan otomatik kontrol sistemlerinin kullanılması gereklidir. ŞEKİL 18 de Hook'un kullandığı elektronik duyucu sistem görlmektedir.

Boyuna Stabilite — Ayaklı teknelerin ayaklar üzerinde seyrederken birkaç dereceden fazla trim yapmaması istenir. Trime karşı bu hassasiyet, profillerin hücum açısının değişmesiyle lift değerinin değişmesi ve direncin artması neticesinde

hızın azalmasına, ayrıca hızlar çok yüksek olduğundan kavşasyon sahasına girmemek için hücum açısının fazla değişmeye müsade edilmez.

Boyuna stabilite hesaplarında kolaylık için, kaldırma kuvvetlerinin tatbik noktasının değişmesi ve trimin dinamik tesirleri ihmal edilir. Ağırlık merkezinin sabit olduğu kabul edilirse, boyuna stabilite kanat hücum açısı ve kanat alanı ile ilgiliidir. Yapılan hesaplarda kanat üzerindeki yük dağılışının boyuna stabiliteyi kuvvetle etkilediği görülmüştür.



Şekil 18

İki taşıyıcı ayaklı bir tekne için,

$$\Sigma L = L_A + L_F = W$$

dir. Burada L_F baş foilin, L_A ise küçük foilin liftidir. Toplam moment ise,

$$\Sigma M = M_F - M_A - M_D + M_T = 0$$

olmalıdır. Burada, M_F baş foilin, M_A küçük foilin lift momenti ve M_D foillerin direnç kuvvetlerinin momenti, M_T ise pervane itme kuvveti momentidir. $M_T \approx M_D$ kabul edersek m ve n ağırlık merkezine göre moment kolları olmak üzere,

$$\Sigma M = M_F - M_A = L_F n - L_A m \quad \Sigma M = f(\varphi \cdot S)$$

$$GZ = \frac{\Sigma M}{\Sigma L} = \frac{\Sigma M}{W}$$

olarak bulunur. Metasantr yüksekliği için n ve m küçük profillerin verdiği metasantr yükseklikleri farklı ise,

$$GM = \frac{GM_A \cdot L_A + GM_F \cdot L_F}{L_A + L_F}$$

olarak alınır.

Walderhaug ağırlık merkezinin taşıyıcı kanatlara nazaran boyuna mevkiinin tesirini analog computer vasıtasıyla incelemiştir. Ağırlık merkezinin ortaya olduğu

hallerde kısa dalga boyutu için baş kığın kurma iki profilen karakteristikleri arasındaki münasebetlere tabidir. Öndeki profilen dalgalarla reaksiyonu ve batma miktarının ufak olması halinde tekne stabilitiesini kaybeder.

REFERANS

1. — T. M. Buerman, P. Leehey, J. J. Stilwell — An Appraisal of Hydrofoil Supported Craft. SNAME 1953.
2. — K. J. Büller — Das Tragflügelboot. STG 1952.
3. — C. Hook — The Hydrofoil: Possibilities and Limitations. NECI Feb. 1966.
4. — Saunders — Hydrodynamics in Ship Design Vol. 1.
5. — N. Barbaros — Diploma Travayı.
6. — Y. Odabaşı — Öğrenci Semineri.
7. — Prof. K. Kafalı — Gemilerde kullanılan profillerin tatbiki hidrodinamigi.
8. — L. A. Geyer, G. J. Wennagel — A Feasibility Study of Hydrofoil Sea Craft. SNAME 1959.
9. — B. Göncər — Ayaklı teknelerin stabilite ve denizciliği.
10. — T. Nishiyama — Method for Estimating the Lateral Statistical Stability of Hydrofoil Craft. Naval Engineers Journal. November 1962.
11. — E. R. Lacey — A Progress Report of Hydrofoil Ships. TINA 1965.

(Devam edecek)